
Rivelatori di onde gravitazionali:

prospettive presso la Sezione INFN di Roma

E. Majorana

Roma - 6 Maggio, 2009

LCGT ??? JP,
interferometer

AIGO ??? AU,
interferometer

TAMA300
TAMA300 Tokyo Japan
1 300 m interferometer

LIGO Hanford
LIGO Hanford WA
1 4km, 1 2km interferometer



GEO600
GEO600 Hannover Germany
1 600 m interferometer

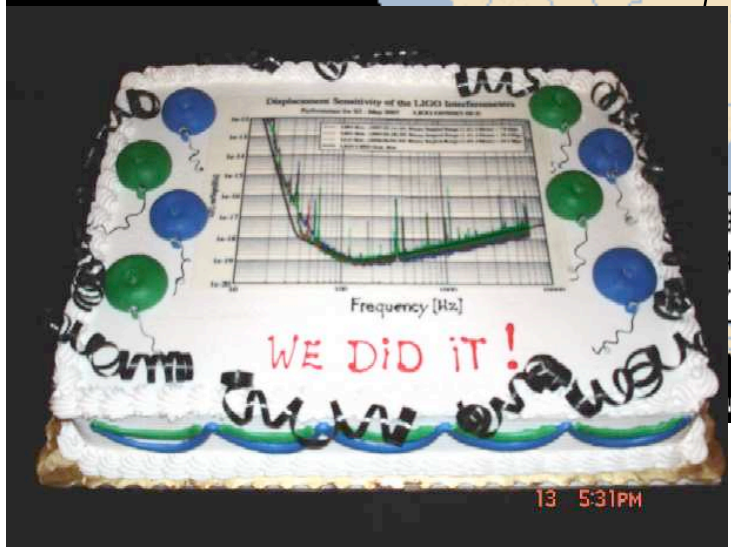
AURIGA
INFN- LNL, I
bar-detector

NAUTILUS
INFN LNF, I
bar-detector

EXPLORER
INFN- CERN
bar-detector

VIRGO
VIRGO Pisa Italy
1 3 km interferometer

gston
gston County LA
ferometer



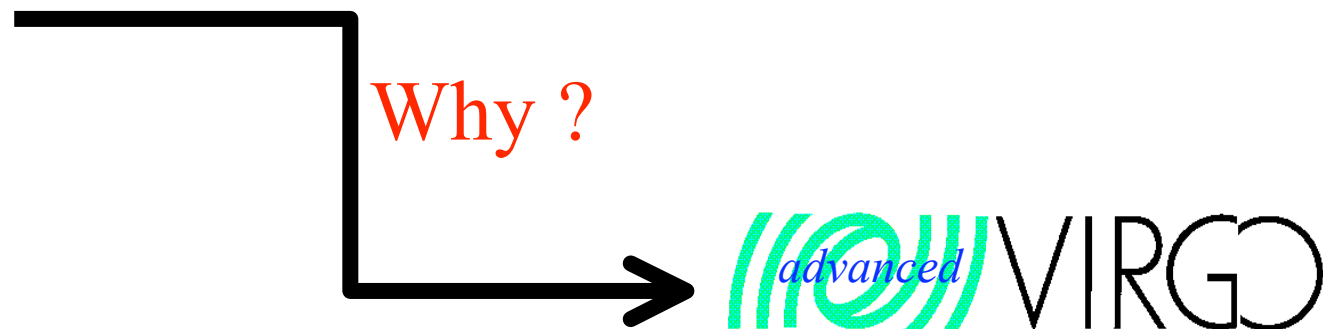
Microsoft and/or its suppliers. All rights reserved.



Outline

I) GW detection basics / interferometers

II)  VIRGO & Co.



Basics: transversal tidal waves

$$R^{\alpha\beta} - \frac{1}{2}g^{\alpha\beta}R = \frac{8\pi G}{c^4}T^{\alpha\beta}$$

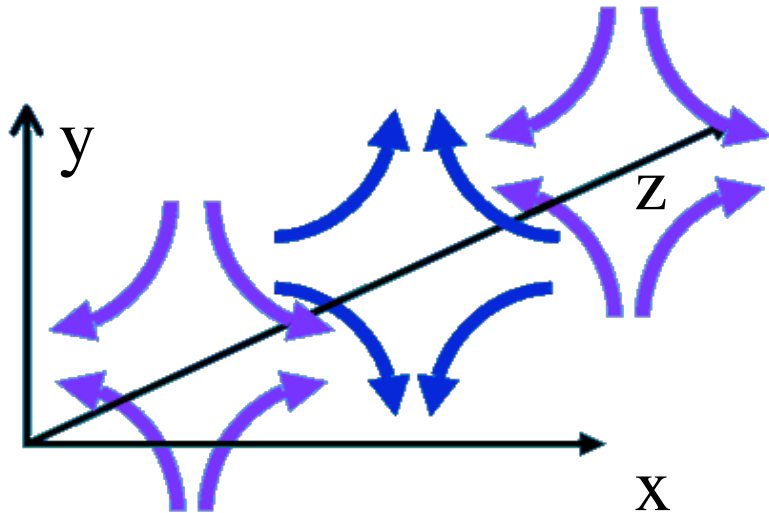
A. Einstein 1916

$$g_{\alpha\beta} = \eta_{\alpha\beta} + h_{\alpha\beta} \quad |h_{\alpha\beta}| \ll 1$$

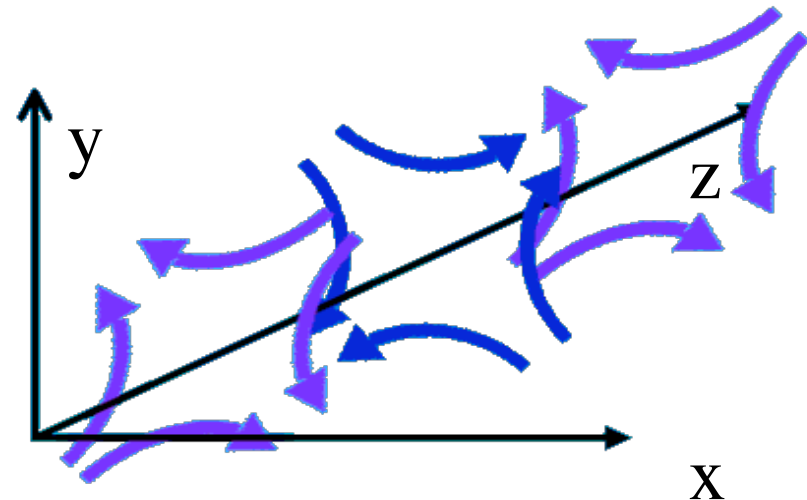
Linearization and gauge choice

$$R^{\alpha\beta} - \frac{1}{2}g^{\alpha\beta}R = -\frac{\square h^{\alpha\beta}}{2}$$

Wave equation set



$$\hat{k} = \hat{z}$$



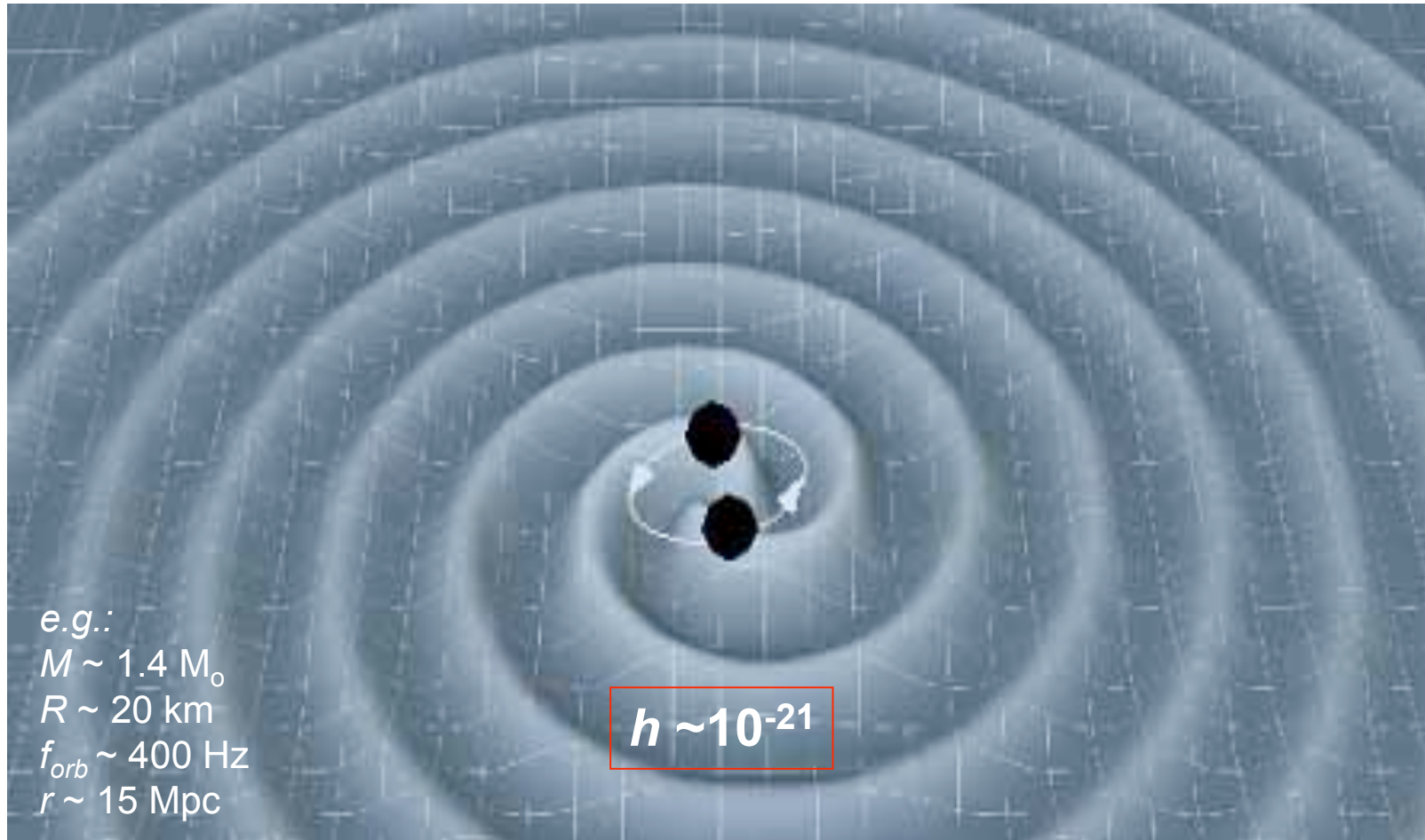


Basics: energetics

$$L = \frac{G}{5c^5} |\ddot{Q}_{\mu\nu}|^2$$

$$h_{\mu\nu} = \frac{2G}{c^4} \frac{1}{r} \ddot{Q}_{\mu\nu}$$

Very weak interaction with matter
=> astrophysics

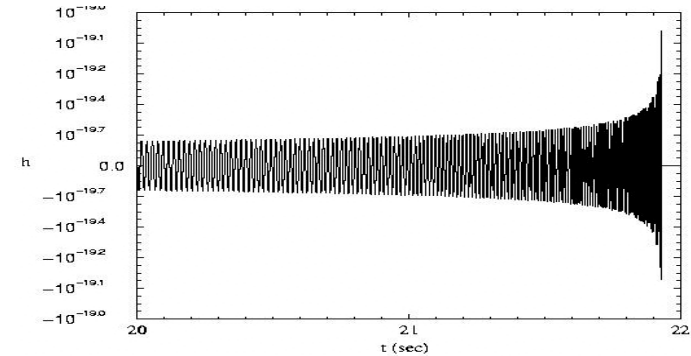
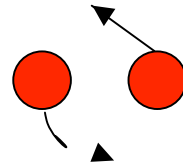




GW sources

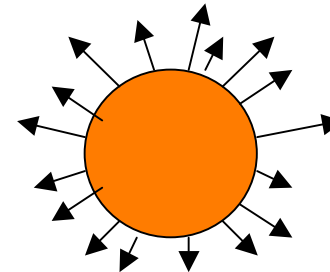
1) Coalescing Binary Systems: NS and Black Holes

Event rate:
1~2/year in a 50Mpc sphere



2) Supernovae Explosions

Event rate:
The Galaxy ($h \sim 10^{-20}$) 1/30 years
Virgo Cluster ($h \sim 10^{-23}$) 1~2/year



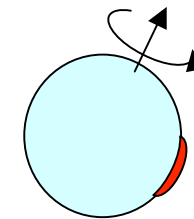
if symmetrical: $h=0$

3) Periodic Sources: 10^9 Galactic rotating Neutron Stars emitting in the Hz region

Note: Earth Doppler shift
$$e^{i\omega t} \Rightarrow e^{i\omega(t - \vec{n} \cdot \vec{R}/c)}$$

 n is the NS direction
 R is the Earth radius

$h < 10^{-25}$



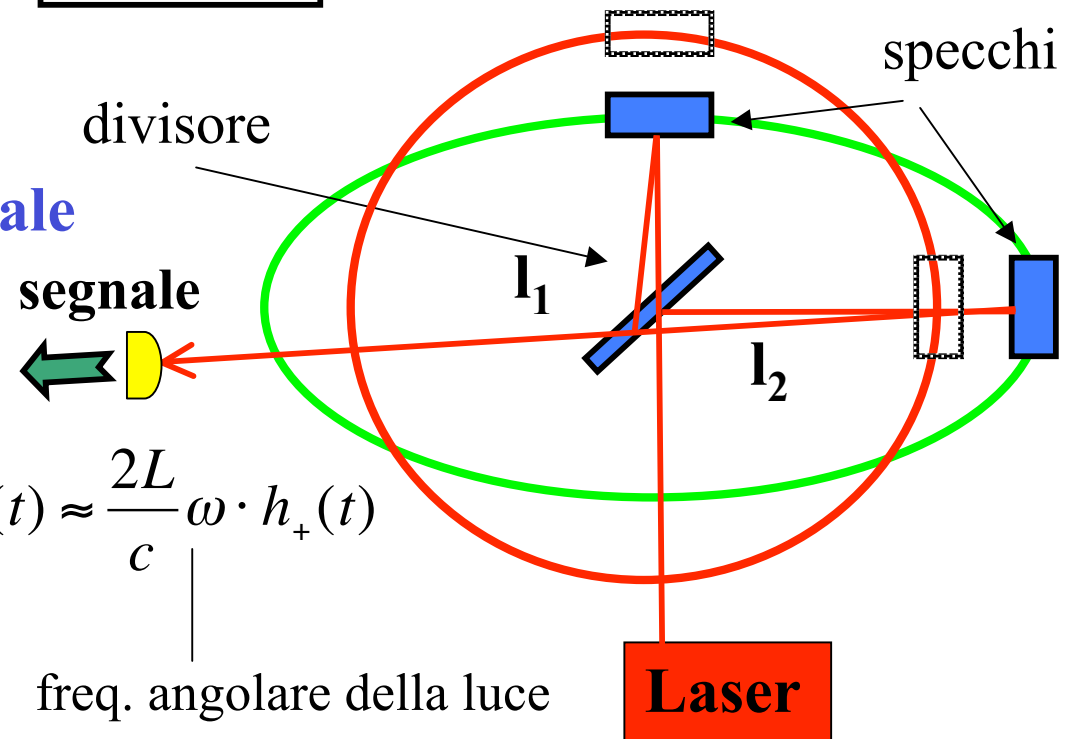
4) Cosmological BKG: to investigate the Big-Bang evolution at Planck's Era time.

Rivelatori a distribuzione di massa discreta: principio

Il segnale d'uscita di un interferometro Michelson dipende dalla differenza dei tempi di transito della luce nei due bracci, ovvero dalla differenza di lunghezza dei due bracci. La variazione di lunghezza di un braccio è

$$\Delta L = h * L$$

A parità di h , più è grande L , tanto più grande è il segnale

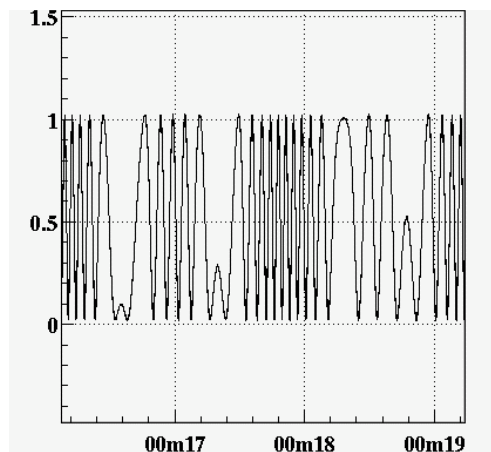


$$\delta\varphi(t) \approx \frac{2L}{c} \omega \cdot h_+(t)$$

freq. angolare della luce

Sfasamento dei due treni d'onda

Interference fringes





Michelson ITF (basics-I)

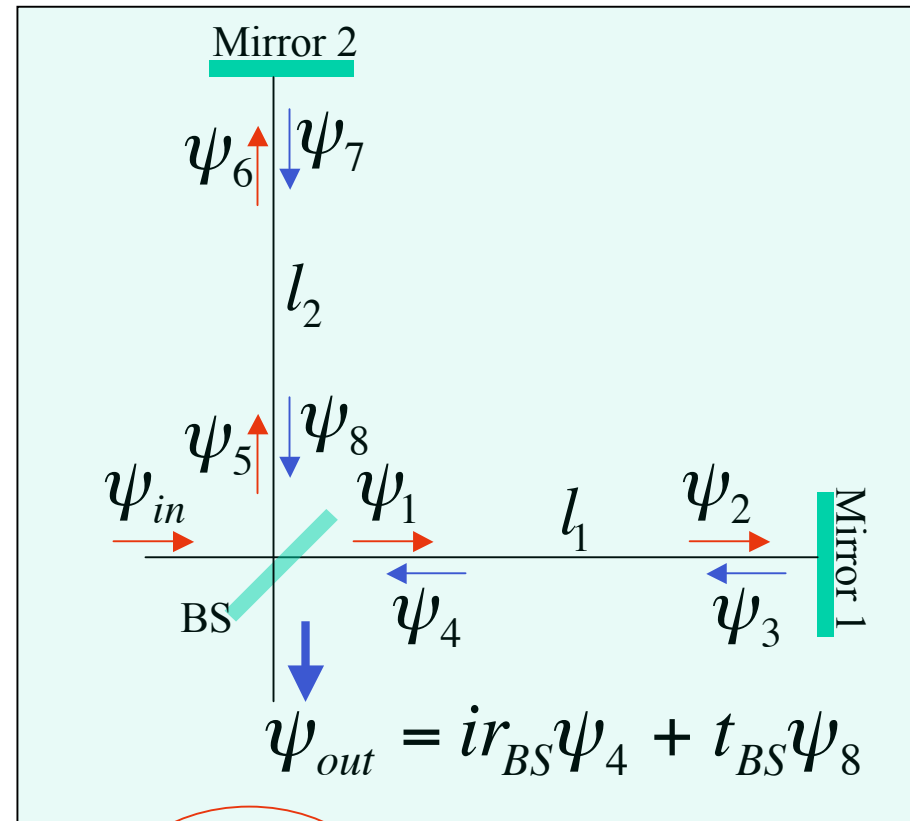
$$\psi_{in} = K e^{i\chi}$$

$$\psi_1 = t_{BS} \psi_{in} \quad \psi_5 = i r_{BS} \psi_{in}$$

$$\psi_2 = e^{-i k l_1} \psi_1 \quad \psi_6 = e^{-i k l_2} \psi_5$$

$$\psi_3 = i r_1 \psi_2 \quad \psi_7 = i r_2 \psi_6$$

$$\psi_4 = e^{-i k l_1} \psi_3 \quad \psi_8 = e^{-i k l_2} \psi_7$$



$$|\psi_{out}|^2 = P_{in} r_{BS}^2 t_{BS}^2 (r_1^2 + r_2^2) \left(1 + \frac{2r_1 r_2}{r_1^2 + r_2^2} \cos(2k \cdot \Delta l) \right) \quad (1)$$

$$C = \text{contrast} = \frac{2r_1 r_2}{r_1^2 + r_2^2} = \frac{P_{out}^{\max} - P_{out}^{\min}}{P_{out}^{\max} + P_{out}^{\min}} \quad l_1 - l_2 \quad (2)$$



Michelson ITF (basics-II)

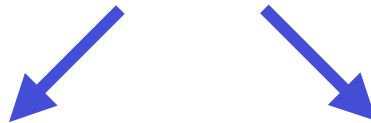
$$l_1 \rightarrow l_1 \left(1 + \frac{1}{2} h_+ \right) \qquad l_2 \rightarrow l_2 \left(1 - \frac{1}{2} h_+ \right) \qquad (3)$$

$$P_{out} = \frac{P_{in}}{2} \left(1 + C \cos(2k \cdot \Delta l) + h_+ C k (l_1 + l_2) \cdot \sin(2k \cdot \Delta l) \right) \qquad (4)$$

$$= P_{Mich.} + \delta P_{GW}$$

$$\delta P_{GW} \propto \text{Amplitude}_{GW}$$

The ITF **power** signal is sensitive to the **amplitude** of gravitational waves (and not to their **power**, as in electromagnetic wave detection).



The source signal fades as $1/r$ and not as $1/r^2$ as in e.m. telescopes: the number detectable sources grows as $\Delta \text{Sensitivity}^3$

GW detector read-out is intrinsically limited by the noise affecting the power at the ITF output port: the **shot noise**. It follows that $P_{out}^{\min} = 0$ (dark-fringe) ensures the best SNR

VIRGO COLLABORATION

<http://www.virgo.infn.it/>

Manpower:

~100 physicists, 100 technical support

Overall cost:

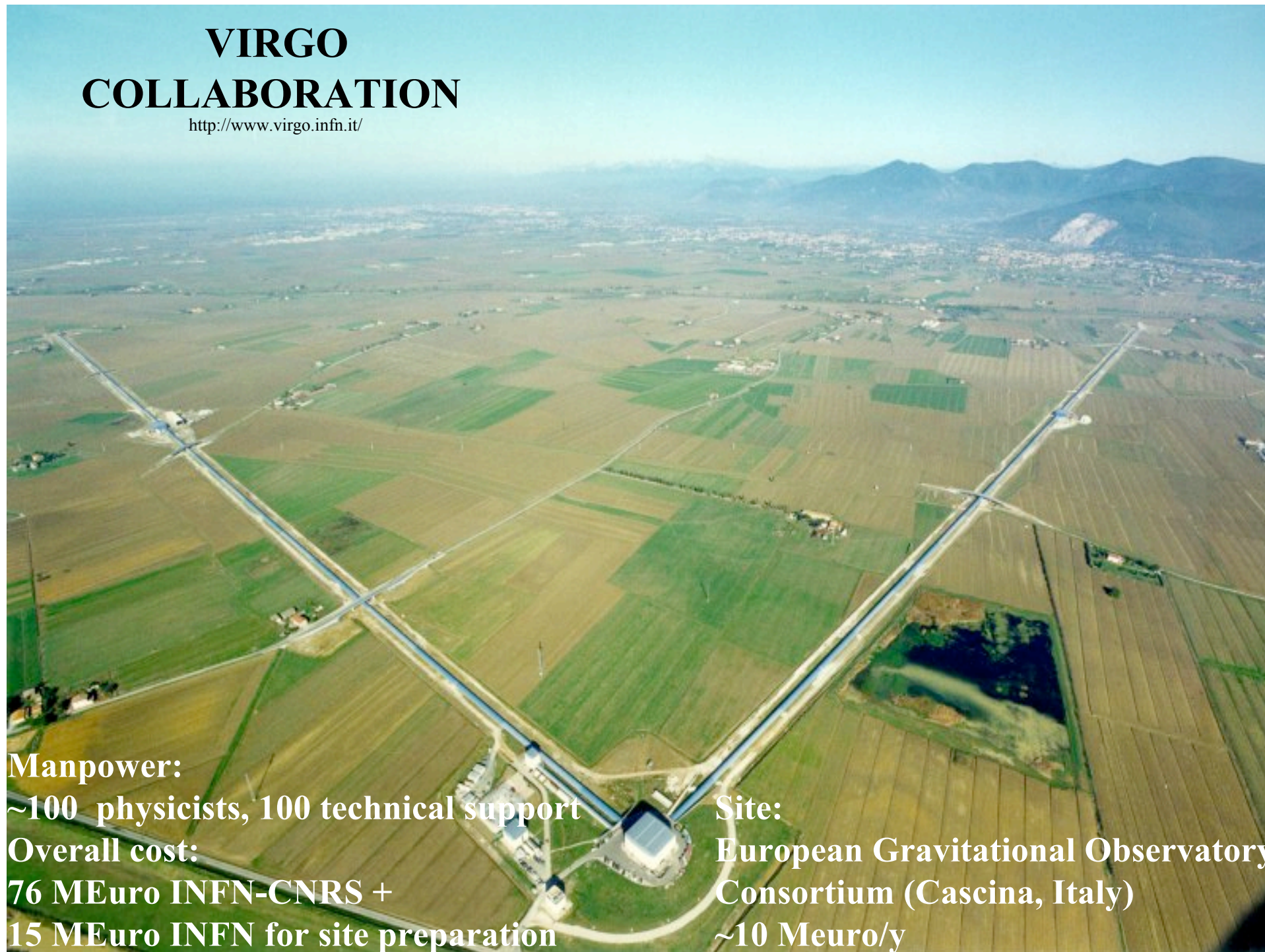
76 MEuro INFN-CNRS +

15 MEuro INFN for site preparation

Site:

**European Gravitational Observatory
Consortium (Cascina, Italy)**

~10 MEuro/y





Designing Sensitivity requirements: initial Virgo

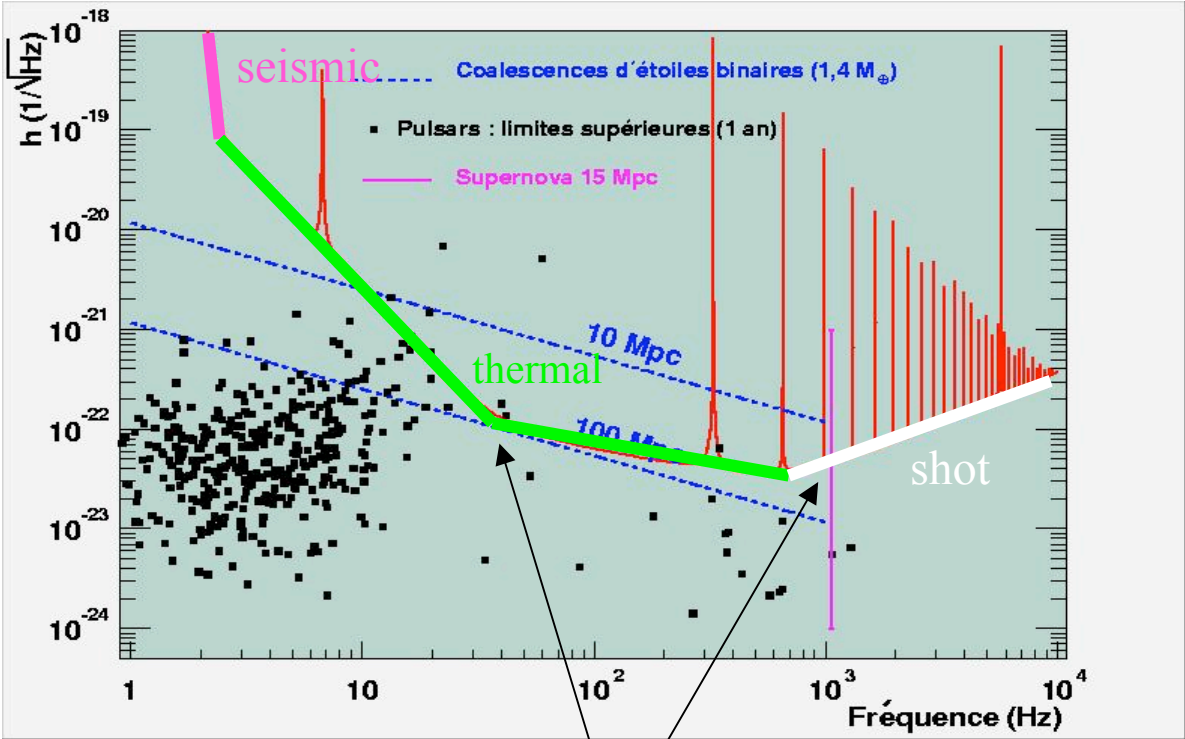
Pushing on the development of all the edge-technology solutions it is possible in principle to reach 10^{-21} - 10^{-23} $\text{Hz}^{-1/2}$ strain sensitivity over a quite large bandwidth

Expected rate of coalescences:
3/yr within 40 ÷ 200 Mpc
[Grishchuk et al. Astro-ph/0008481]

Coalescence event rate
at ~ 20 Mpc
[Kalogera et al. ApJ. 601, L 179, 2004]
– 0.3/yr for NS/NS
– 0.6/yr for BH/BH

Estimated rate of SNe:
several /yr in the Virgo cluster (20 Mpc).

INITIAL VIRGO !!!!



Intrinsic test-mass and readout noise sources

10⁻²¹ 10⁻²² 10⁻²³ 10⁻²⁴

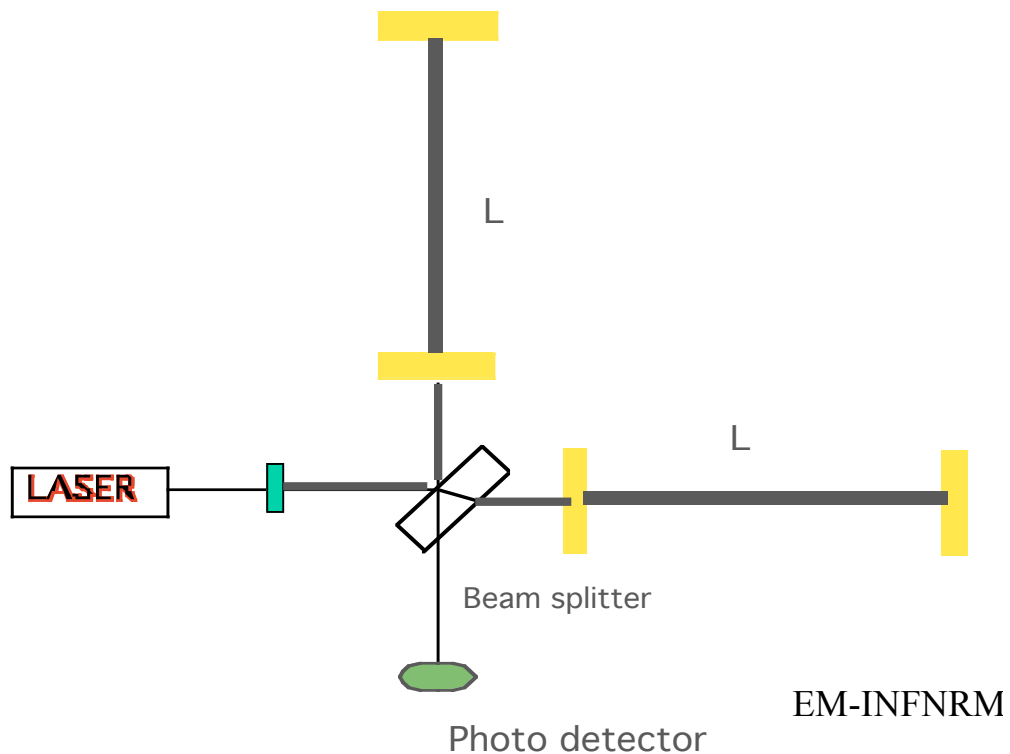
Metodo standard per aumentare la sensibilità dei rivelatori interferometrici terrestri

I) Il tempo di permanenza della luce nei bracci viene allungato disponendo lungo i bracci cavità ottiche Fabry-Perot.

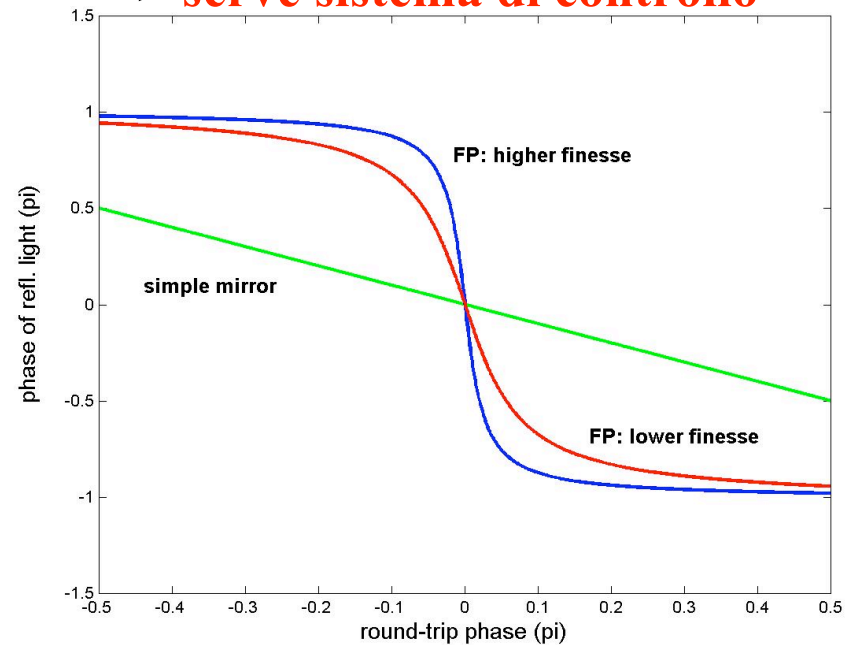
II) L'ITF rivela in frangia scura.

III) si usa uno specchio di ricircolo di potenza.

Lunghezza efficace = 120 km



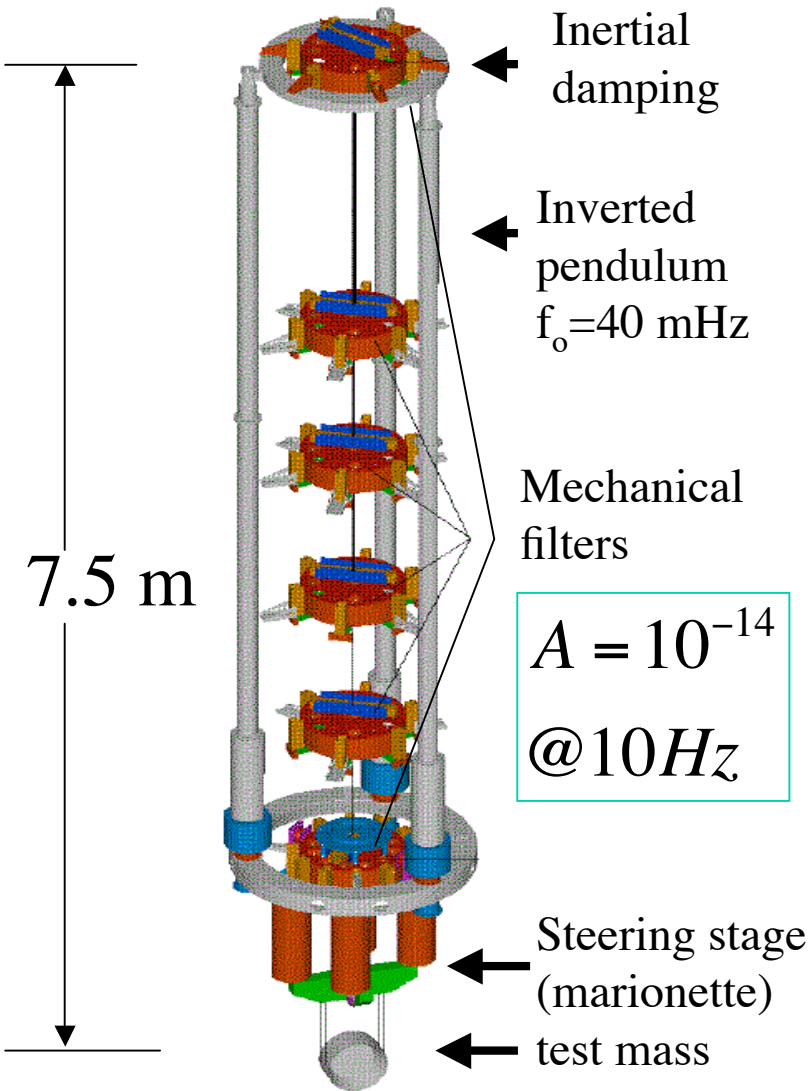
La risposta dell'ITF aumenta molto, ma si riduce il range
=> **serve sistema di controllo**





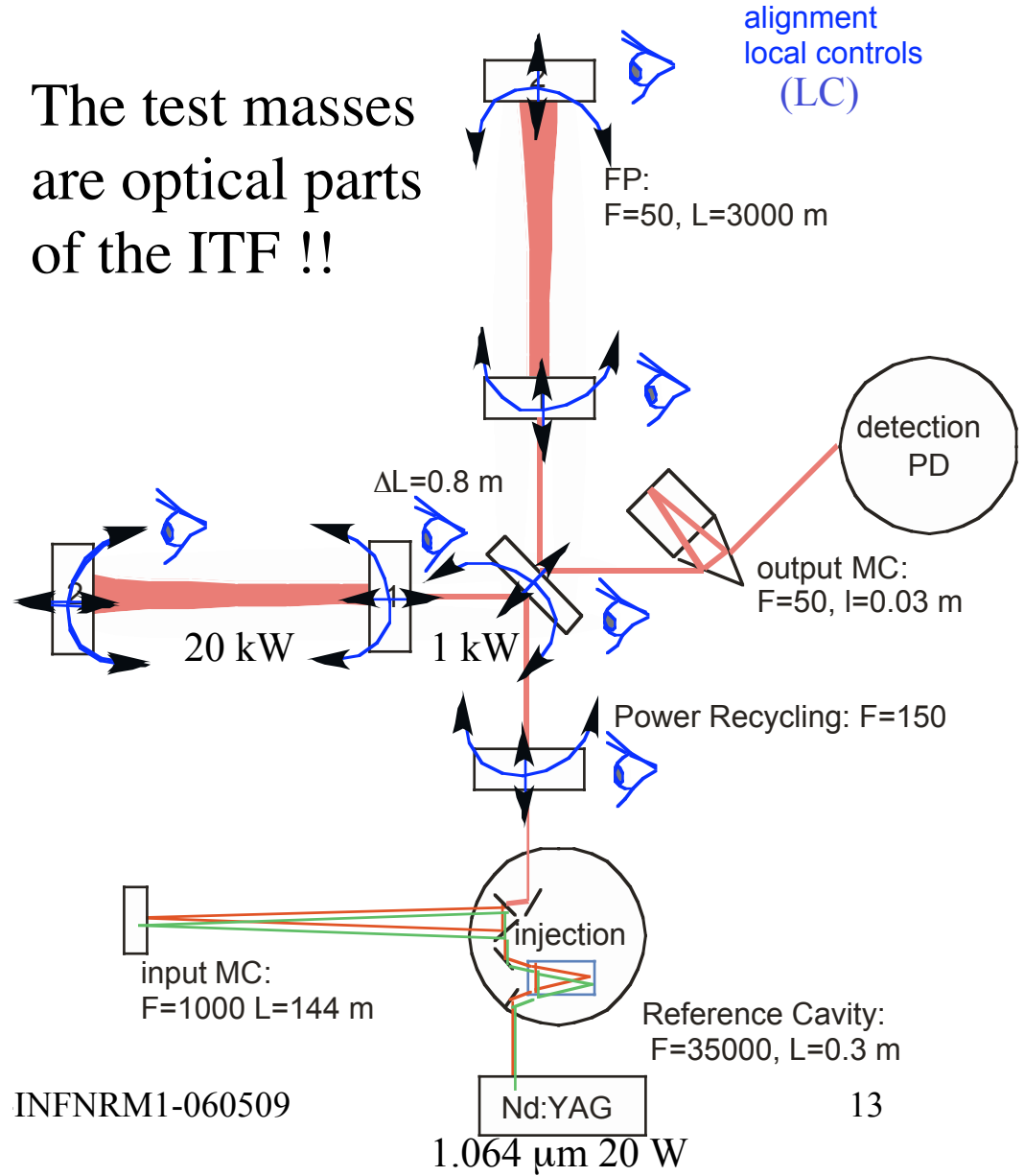
Demanding seismic isolation system

test masses



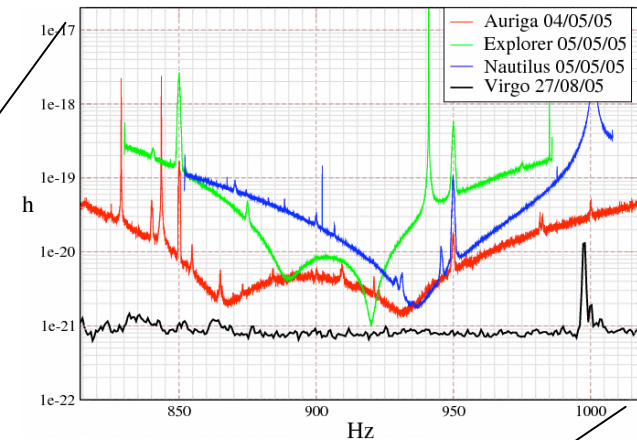
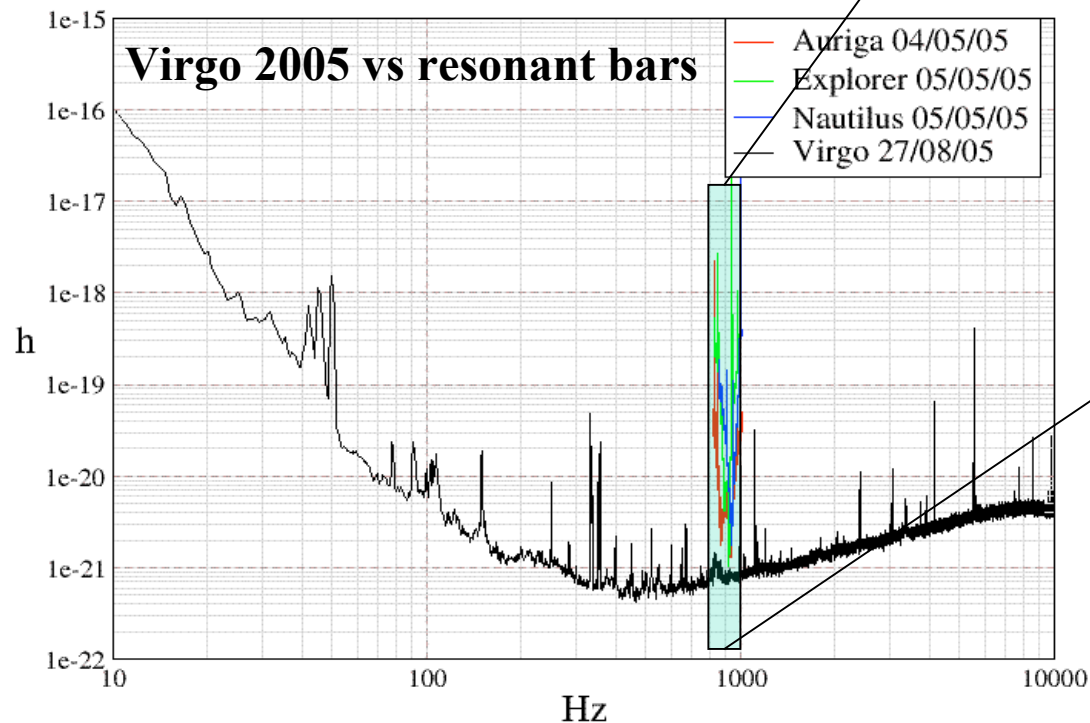
$$A = 10^{-14} @ 10 \text{ Hz}$$

The test masses are optical parts of the ITF !!



Comparison with resonant detectors

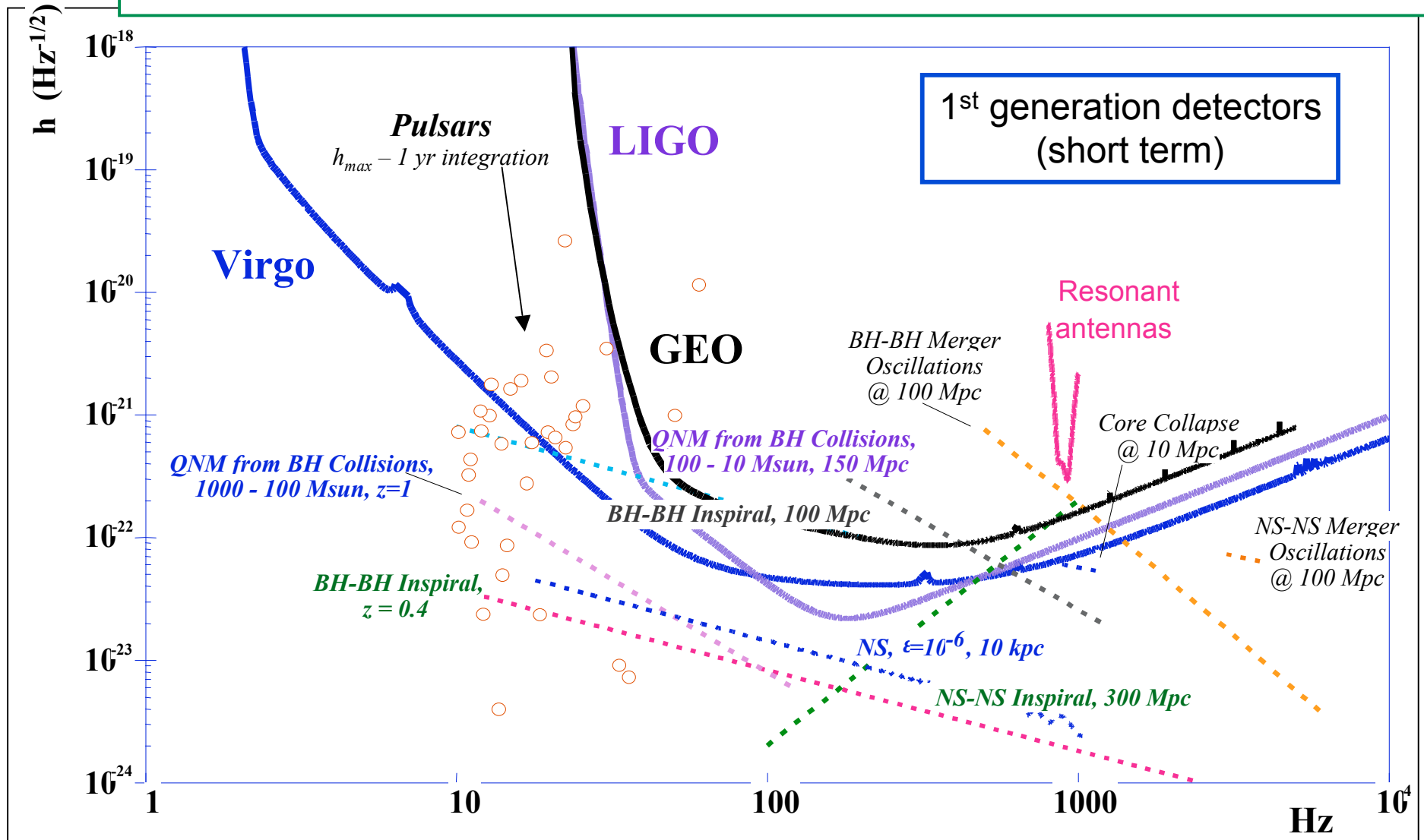
- Continuous-mass distribution (“resonant body”)
- Discrete mass distribution (“free test masses”)



Note:
they are **not just two different classes**
of detectors.
Resonant detectors in operation were
not meant to reach the Virgo Cluster.
They are maintained in **stable**
operation for Galactic event detection
backup.

The European roadmap was delineated to concentrate resources on GW interferometers

1st generation GW detectors sensitivities: few and rare events



**Interferometric
Network**

Event Rate (per year)

Range (Mpc)

NS-NS

$3 \cdot 10^{-4} - 0.3$

30

NS-BH

$4 \cdot 10^{-4} - 0.5$

60

BH-BH

$10^{-3} - 3$

145

SNe

0.05

0.1

The intermediate step V^+ towards Advanced Virgo

Virgo \Longrightarrow Virgo+ \Longrightarrow AdvVirgo

The evolution of the Virgo collaboration towards Advanced-Virgo project

- The collaboration is open and new groups join VIRGO collaboration

INFN

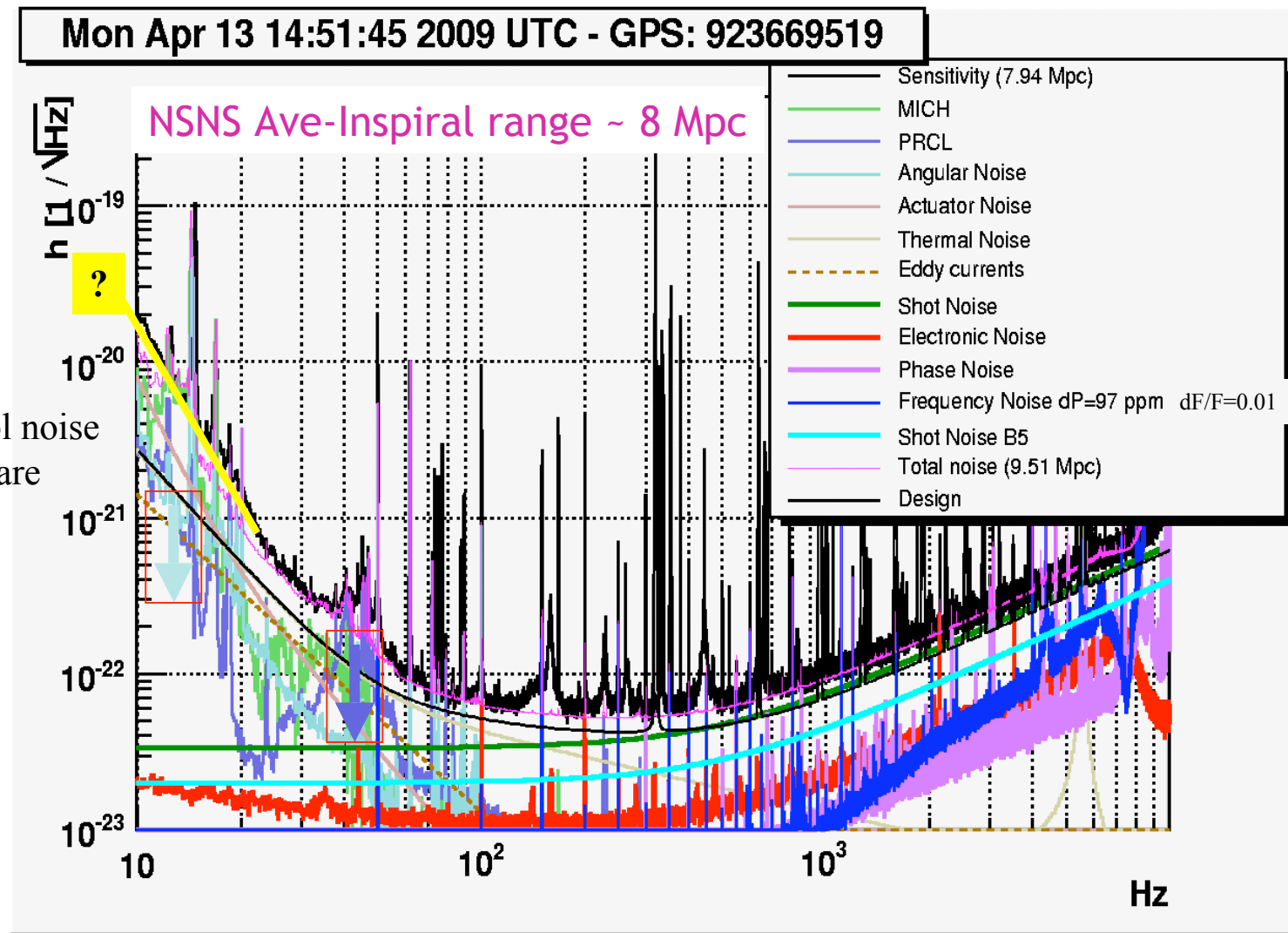
- Sez. Firenze/Un.Urbino
- Sez. Genoa
- Sez. Napoli/Un. Federico II
- Sez.Perugia/Un. Perugia
- Sez. Pisa/Un. Pisa
- Sez. Roma/Un. Sapienza
- Sez.Roma 2/Un. Tor Vergata
- Saz. Padova/ Un. Trento
- **EGO Physics group**

CNRS

- APC – Paris
- ESPCI – Paris
- LMA – Lyon
- LAL – Orsay
- LAPP – Annecy
- OCA – Nice
- **NIKHEF –Amsterdam**
- **POLGRAV – Warsaw (Polish Ac. Sci.)**
- **RMKI (Hungarian Ac. Sci. Budapest**
- **Birmingham Un. –UK (MOU GEO-VIRGO)**

*The collaboration is fully engaged in Virgo upgrades (V+) and
Advanced Virgo project*

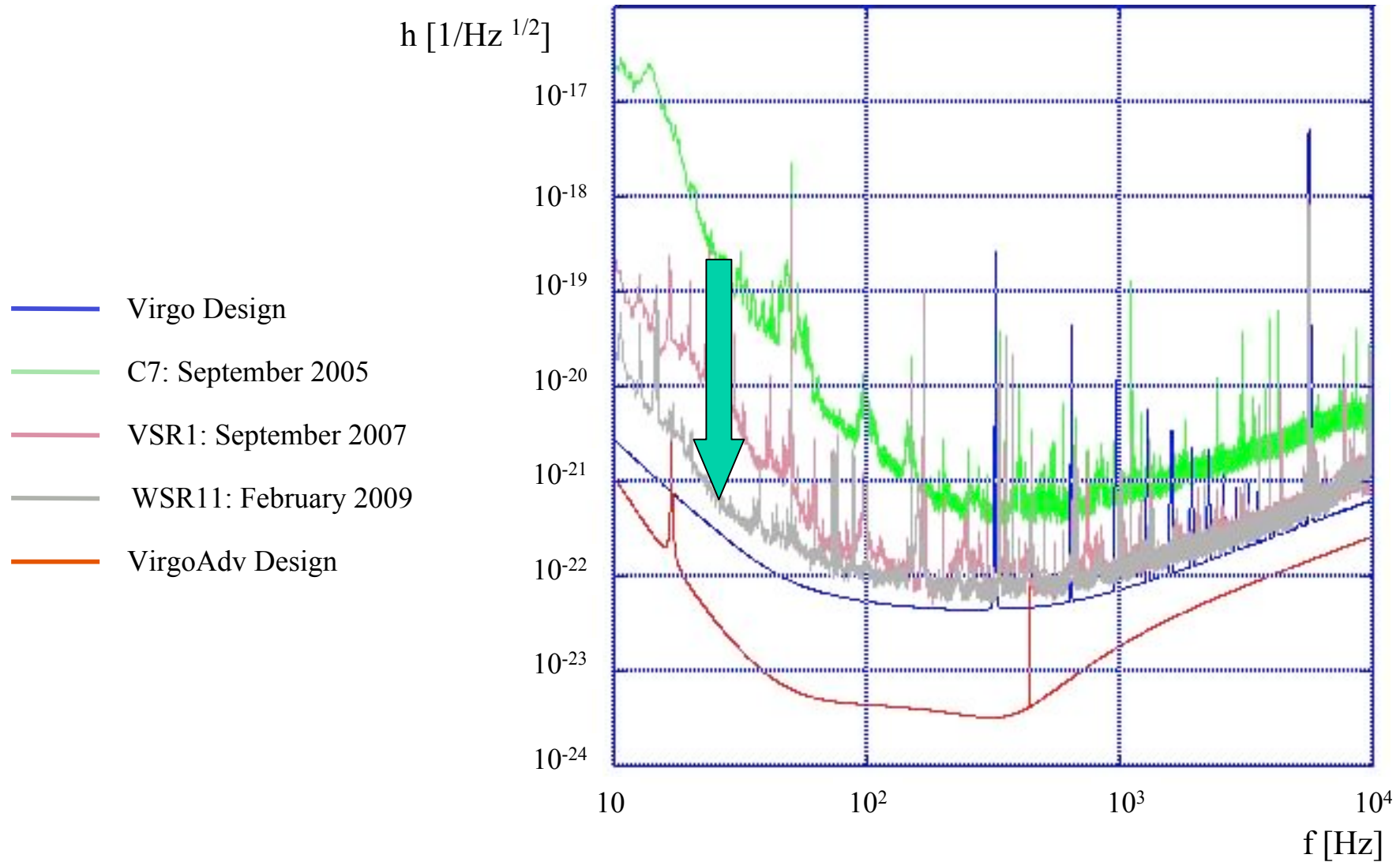
Present status of noise hunting: few ununderstood noise sources



Note: here locking control noise MICH/PRCL are not optimized

**Virgo+ is being implemented gradually:
its commissioning is interlaced with coincidence operation of *enhanced-LIGO***

Recent sensitivity improvements during commissioning and scientific runs

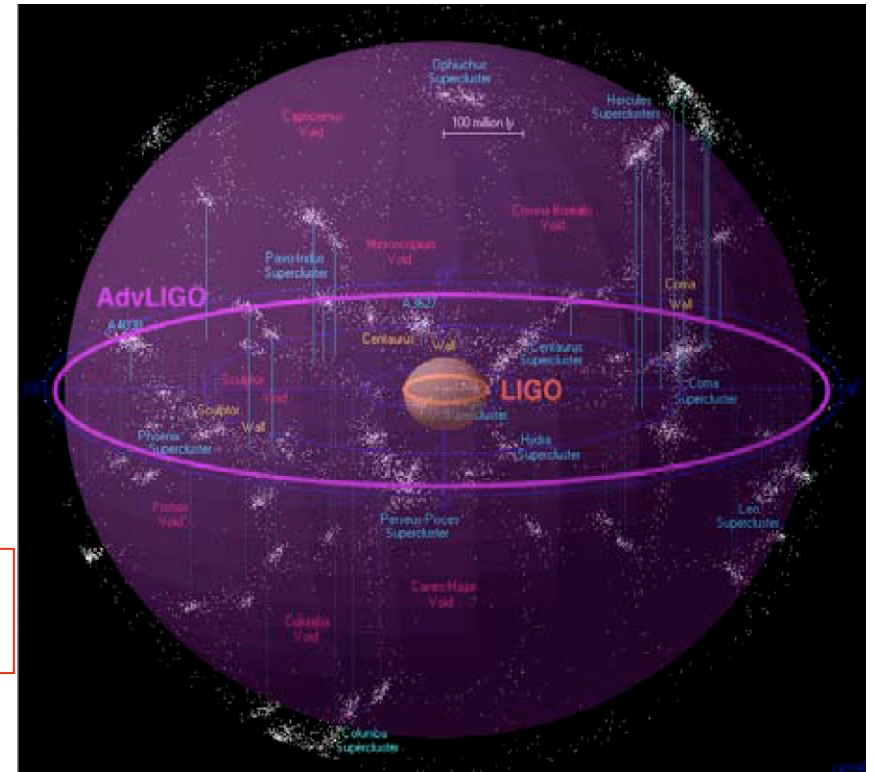
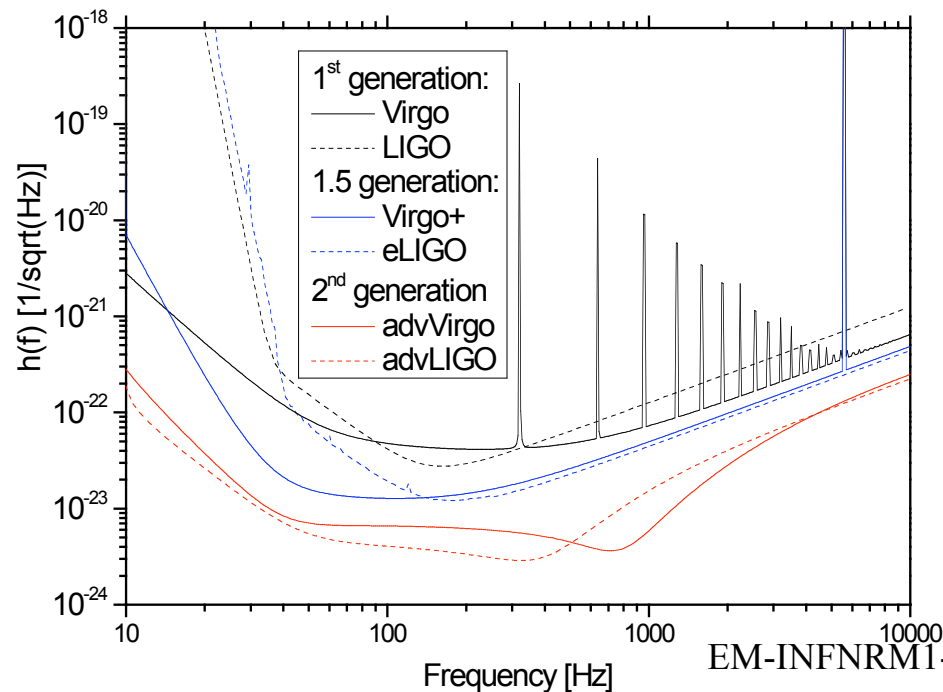


Background activity: four years spent to prepare preliminary Advanced Virgo design

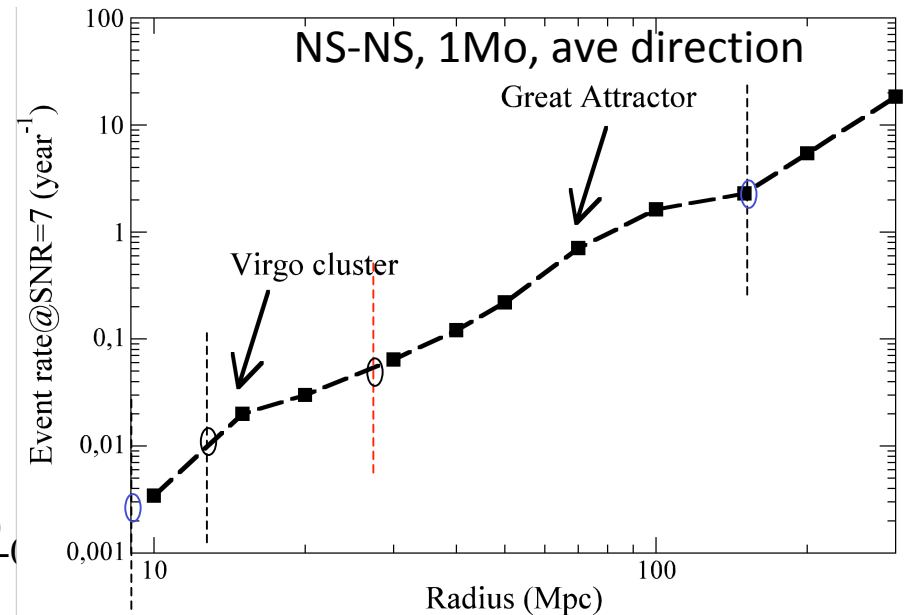
Advanced detectors target:
few events/year

Several sensitivity improvements are possible using present infrastructures of Virgo and LIGO in two steps :

Enhanced Interferometers => **no major hardware changes**
Advanced Interferometers => **major hardware changes**



Credit: Richard Powell



INFN Roadmap A Proposal for the Gravitational Wave Experiments

The CSN2 GW Working Group:

M. Bonaldi (Auriga, DUAL), S.Braccini (CSN2), R.Dolesi (LISA), V. Fafone (ROG, SFERA), M. Punturo (Virgo), P. Rapagnani (CSN2, Convener)

Contents:

1	Next future evolution strategy	2
1.1	The Extended Network of Detectors as an Instrument for Discovery and Astronomy	2
1.2	The Near Term Evolution (2006 – 2007)	3
1.3	The Medium Term (2008 – 2011).....	5
1.4	The Long Term (2012 – 2018).....	7
1.5	The Future: Beyond 2018	

2 Summary

2006 – 2007: Near Term Network

2008 – 2012: Medium Term Network

2012 – 2018: Long Term Network

Risorse potenziabili, ma limitate:

necessario concentrarle !

I Analisi dello stato attuale

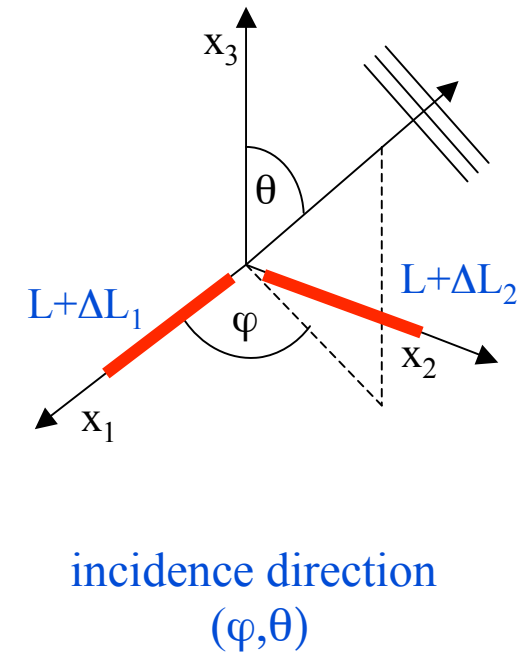
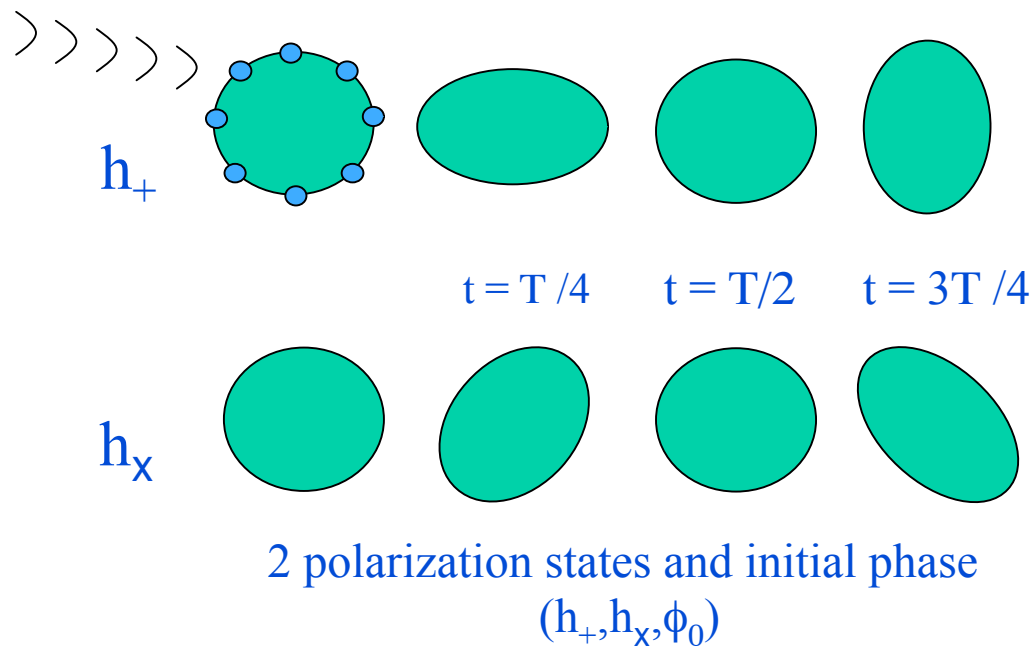
II Analisi delle prospettive nel tempo

III Analisi dei costi

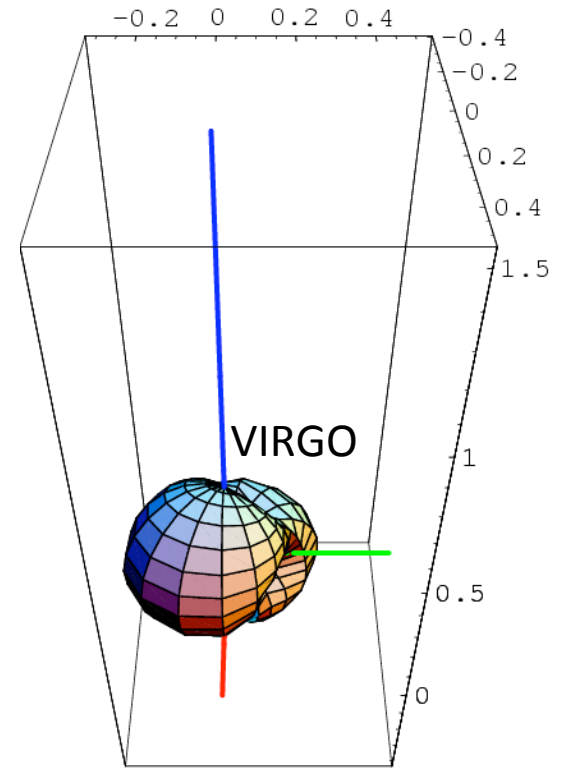
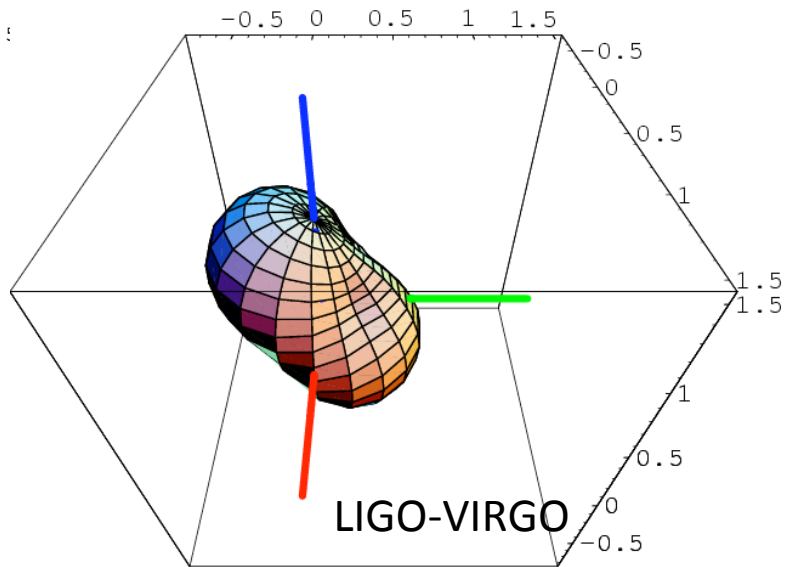
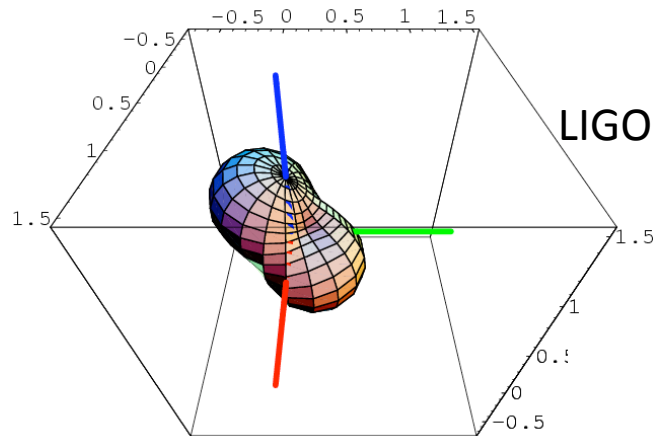
The Network of Gravitational Detectors as a Global Instrument

Coherent analysis with several detectors:

crucial to detect the signal and to reconstruct the 5 parameters of the wave



I diagrammi d'antenna e la rete



*La rete è
cruciale per la
reiezione degli
eventi spuri,
ma non solo
per questo.*

Credits A. Viceré

Combinando in modo coerente i dati della rete LIGO-Virgo Advanced la distanza d'esplorazione (SNR=8, eff. 90%) per eventi del tipo BNS cresce da 150-170 Mpc per i singoli rivelatori fino a 270 Mpc

Some details about relevant hardware changes

EM-INFNRM1-060509



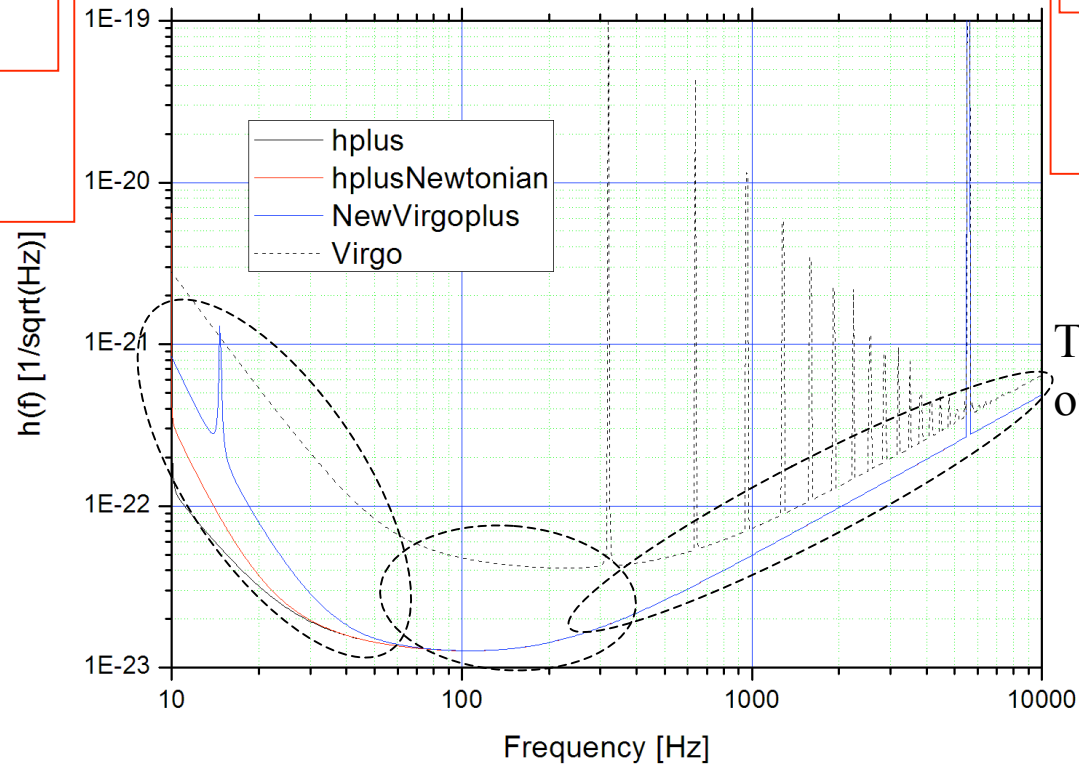
Virgo+, first step towards Vadv: main improvements (many others underlying)

Monolithic suspension
(marionette-mirror)

new mirrors
(Hi-Q)



Dedicated R&D
to validate new
test-mass payload
(done!)



Powered injection

new mirrors
(Hi-Finesse)



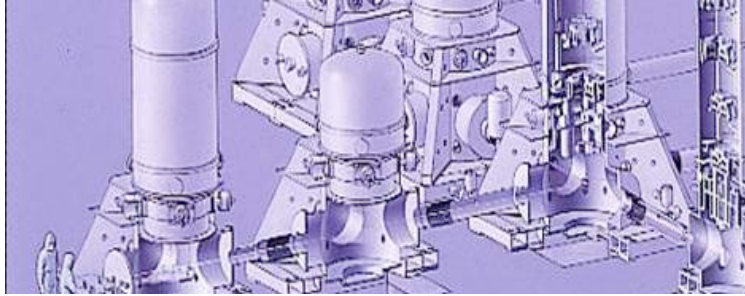
Thermal deformation
of FP cavity mirrors



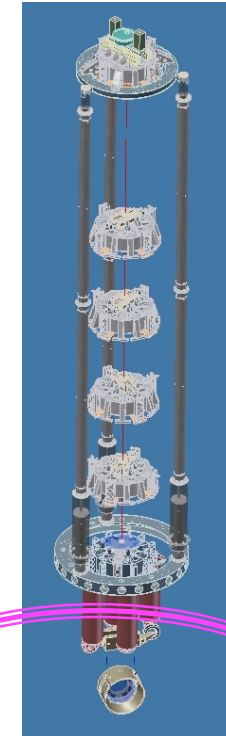
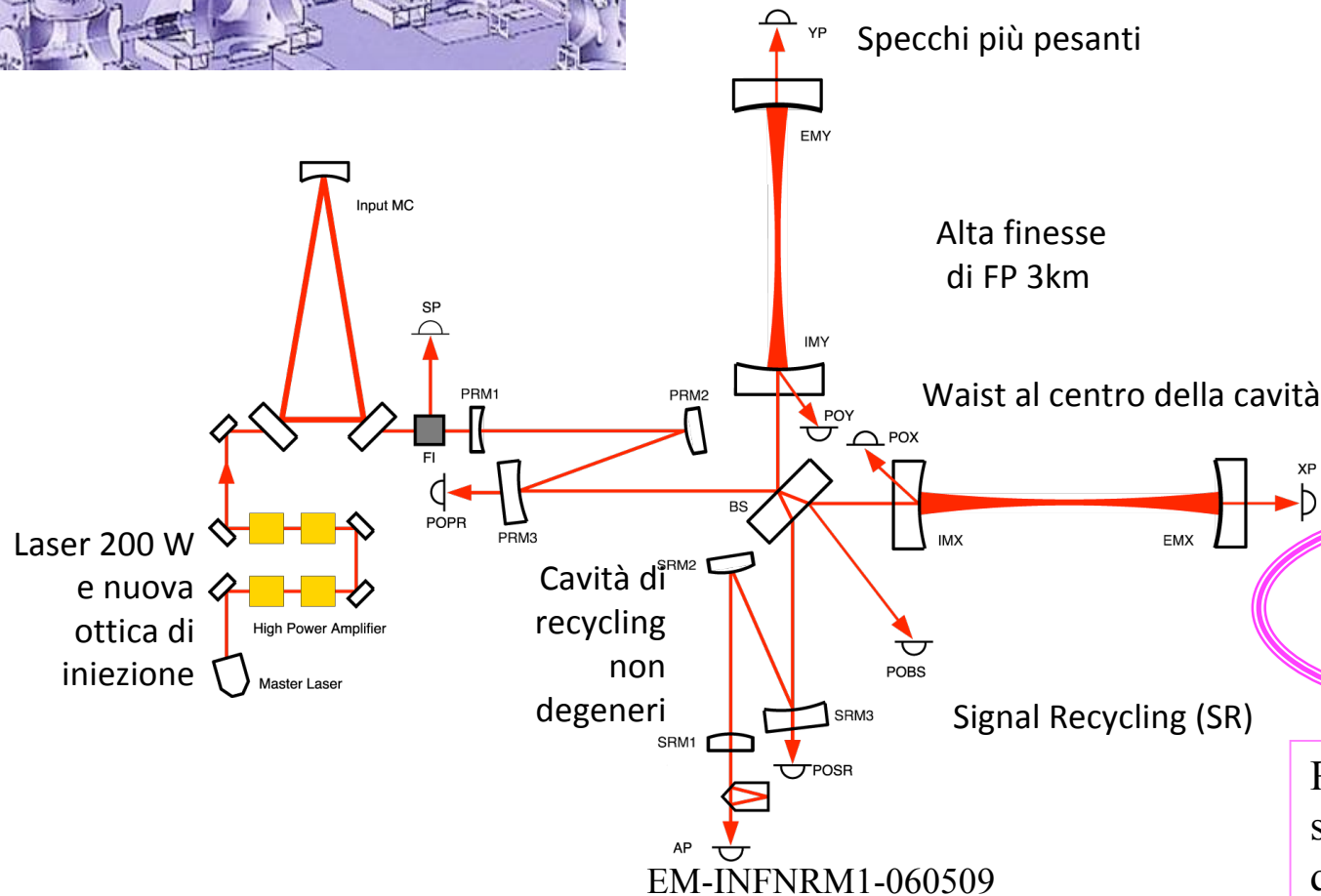
Thermal
Compensation
System needed

Schedule: Virgo+ with monolithic suspension in 2010

Da Virgo ad AdvancedVirgo: cosa è necessario fare



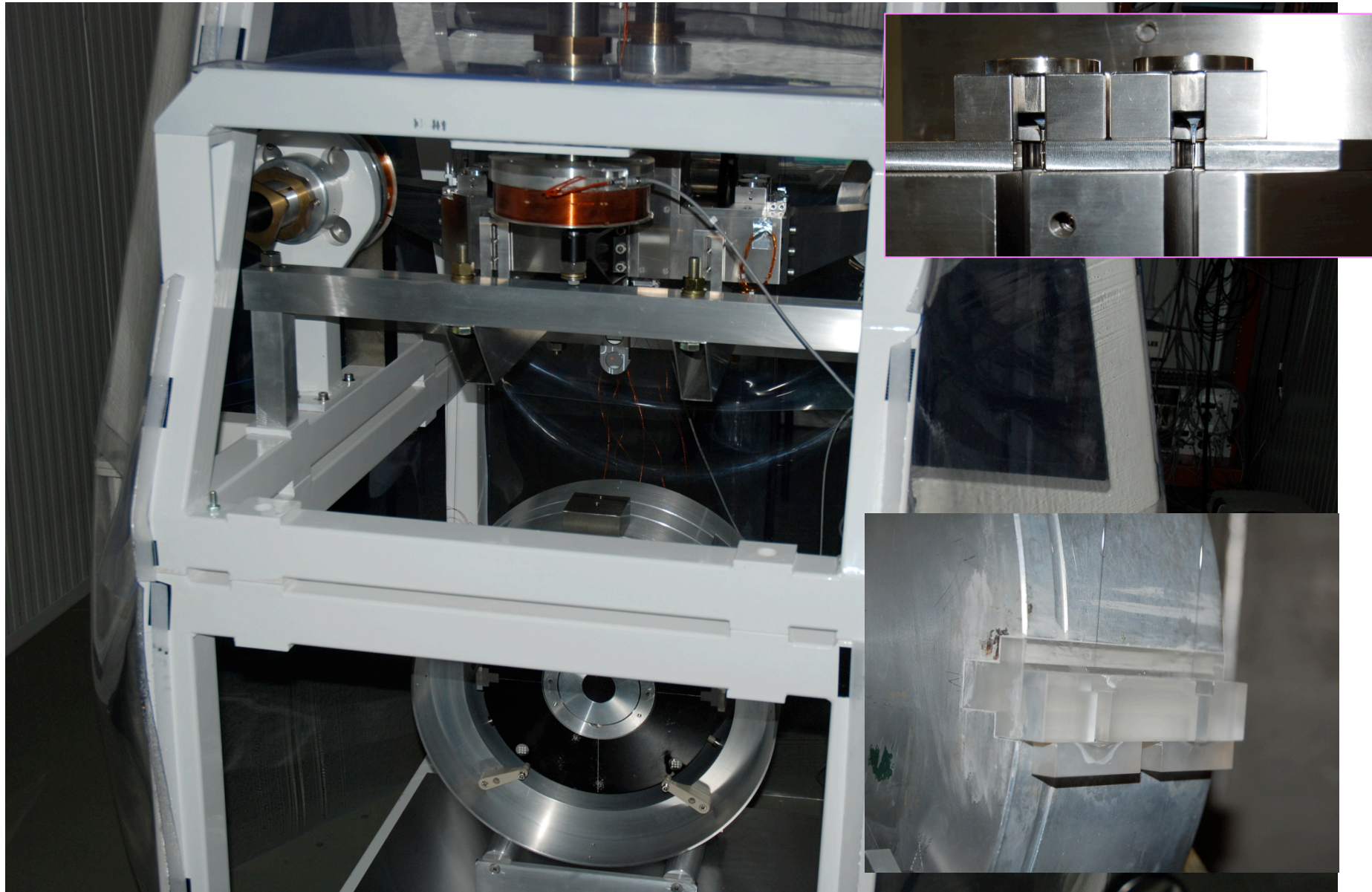
Link area centrale più grandi



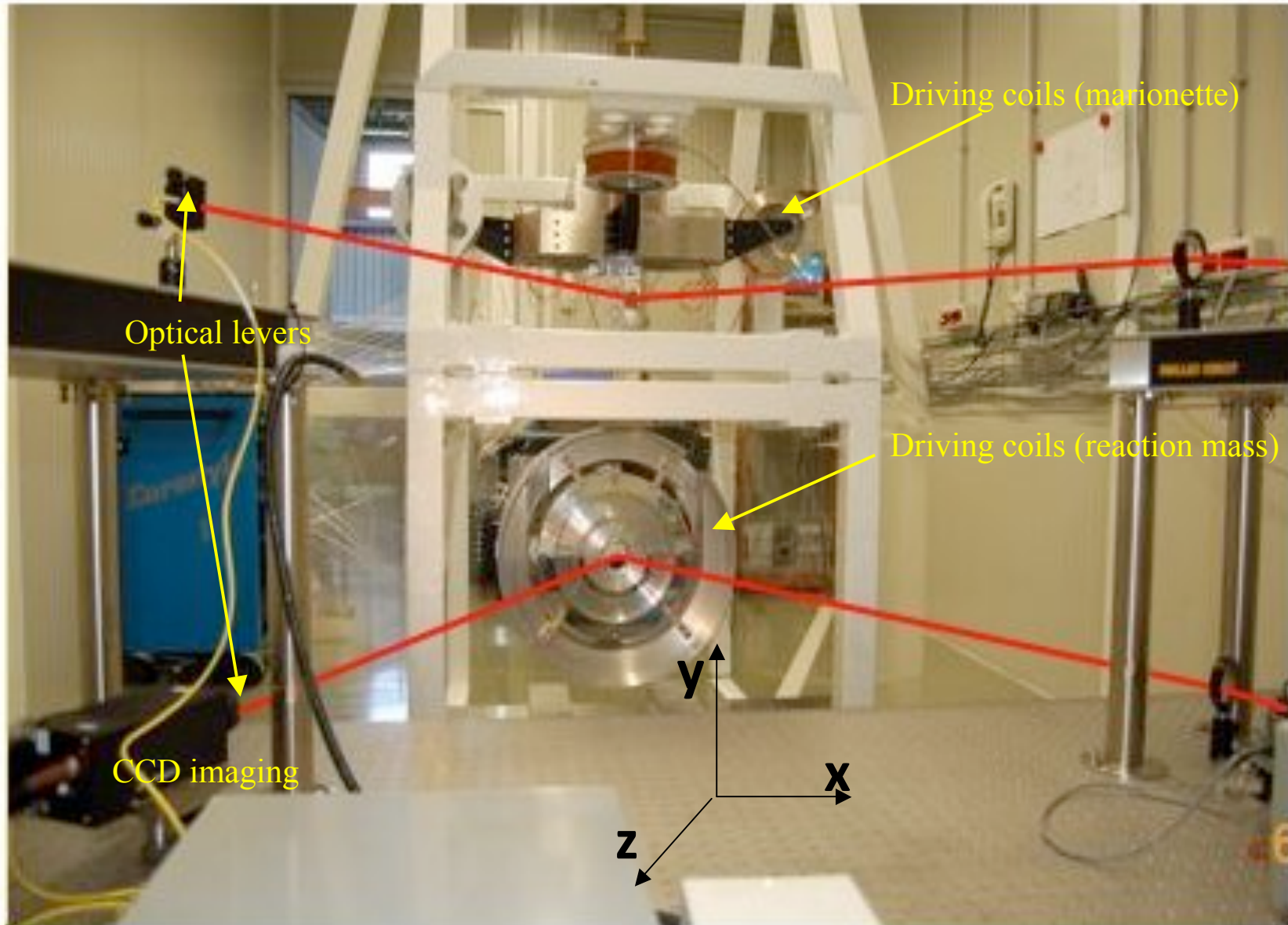
Sospensioni Monolitiche

Roma1: responsabilità sviluppo e installazione dei nuovi payload

Thermal noise/monolithic suspension: a key feature for low frequency sensitivity improvement (V+ payload prototype)

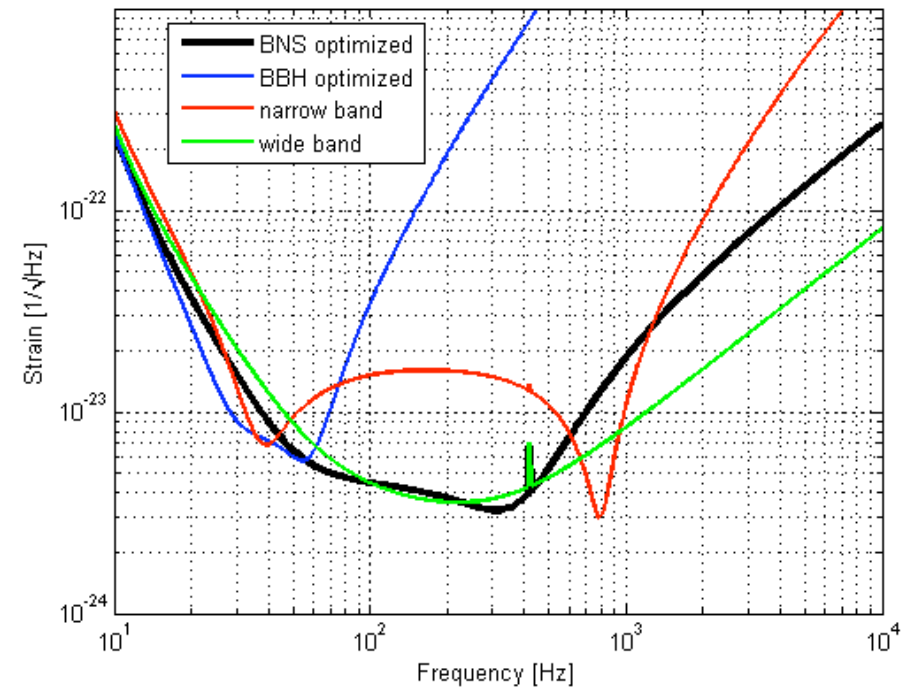
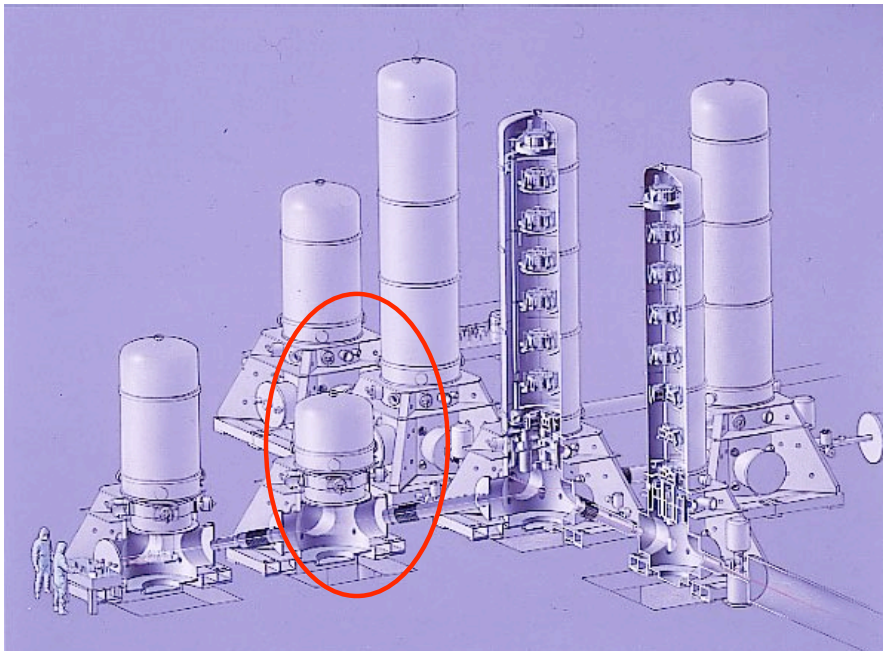


Thermal noise/monolithic suspension: a key feature for low frequency sensitivity improvement (V+ payload prototype)



nota: ricircolo del segnale

- Un ulteriore superattenuatore da implementare.
- Un'altra cavità da tenere in sul punto di lavoro



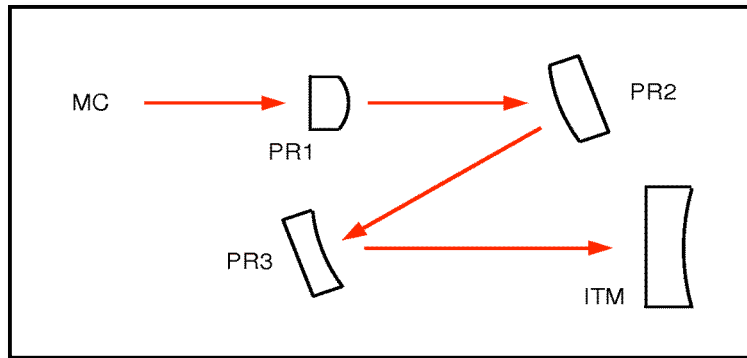
EM-INFNRM1-060509

Cavità centrali non degeneri (Area centrale dell'interferometro)

Scopo:

rendere le bande laterali usate per il segnale di errore delle **2 cavità centrali** (ricircolo di potenza e di segnale) meno dipendenti dai contributi di altri modi parzialmente risonanti

➔ necessarie cavità centrali più lunghe !!

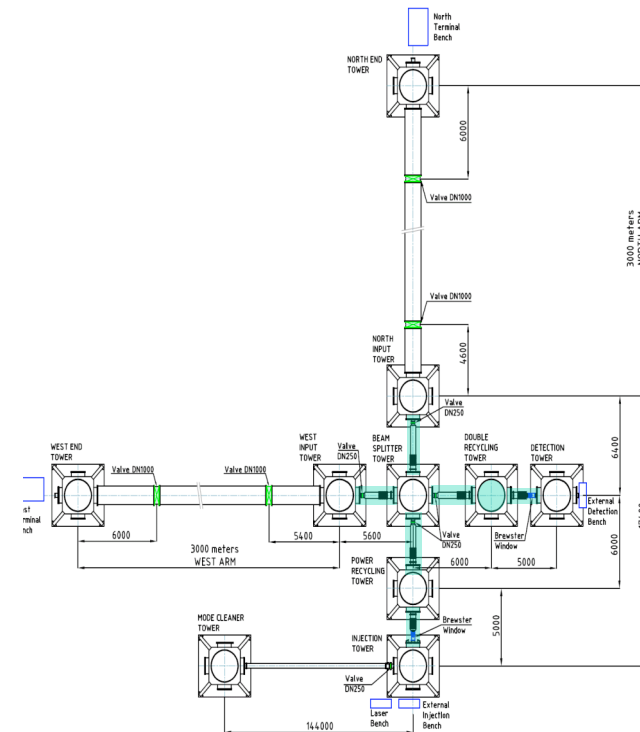


○ Vantaggi:

- Incremento della dinamica dell' Interferometro.
- Minore sensibilità al disallineamento.
- Ridotti effetti termici durante la transizione ad alta potenza.

○ Implicazioni:

- Link da vuoto tra le torri di diametro maggiore.
- Modificare la performance di attenuazione sismica per i banchi ottici di iniezione e rivelazione.
- **Modifica sostanziale di alcuni payload (composti da più specchi).**
- Sistema di controllo della posizione per payload con più specchi sospesi.



Roma 1

nota: sezione dei fasci sugli specchi delle cavità da 3 km



$$h_{coat}(f) = \frac{1}{r_0} \sqrt{\frac{4k_B T d}{\pi^2 f Y}} \phi_{eff}$$

Aumento delle dimensioni del fascio sugli specchi

Vantaggio:

- Riduzione del rumore termico degli specchi e degli effetti termici sullo specchio d'ingresso

Implicazioni:

• Luce diffusa: grande attenzione nella progettazione del del beam-splitter



readout/mechanics: back-action

$$\langle \tilde{x}_{RP} \rangle^2 = \frac{1}{m \cdot \omega_0^2} \frac{P_{shot}}{c}$$

displacement spectral density due to radiation pressure on suspended mirrors

$$\tilde{h}_{readout} = \frac{1}{L_{FP}} \sqrt{\frac{c_{shot}}{F^2 P} + \frac{c_{RP}}{(m\omega_0^2)^2} F^2 P}$$

m = suspended mirror mass; $c_{shot} = c_{shot}(const_{shot})$; $c_{RP} = c_{RP}(const_{RP})$

Finesse and Power cannot be increased without mechanical reaction.

Massive mirrors can be used to reduce radiation pressure noise.

thermal noise

$$h_{TN} \geq h_{readout}$$

Trade-off reference solution :
35 cm Ø, 20 cm thick, 42 Kg

EM-INFN

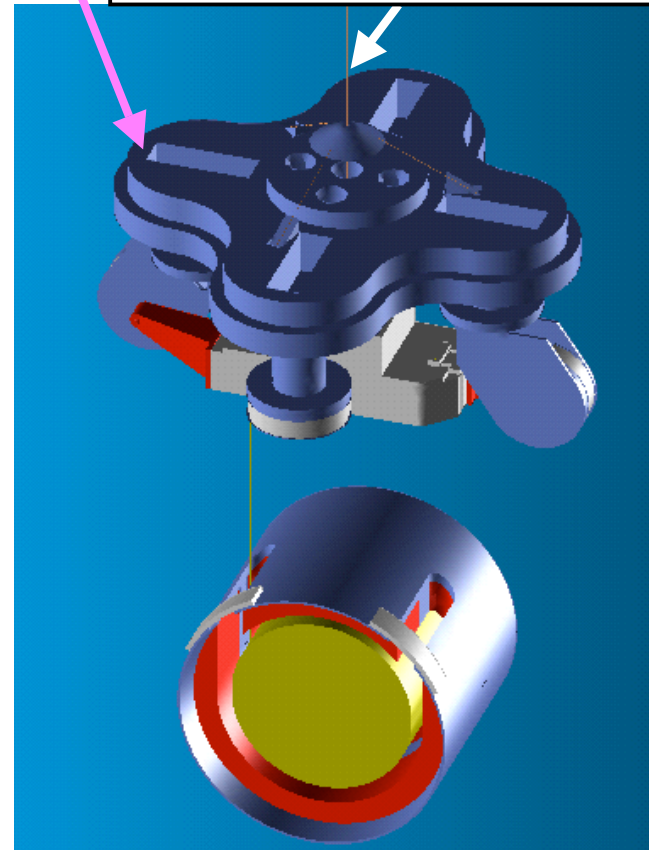
Significant changes in Virgo+ monolithic payload design towards AdvVirgo.

AdvVirgo payload prototype



A second reaction mass to actuate marionette control

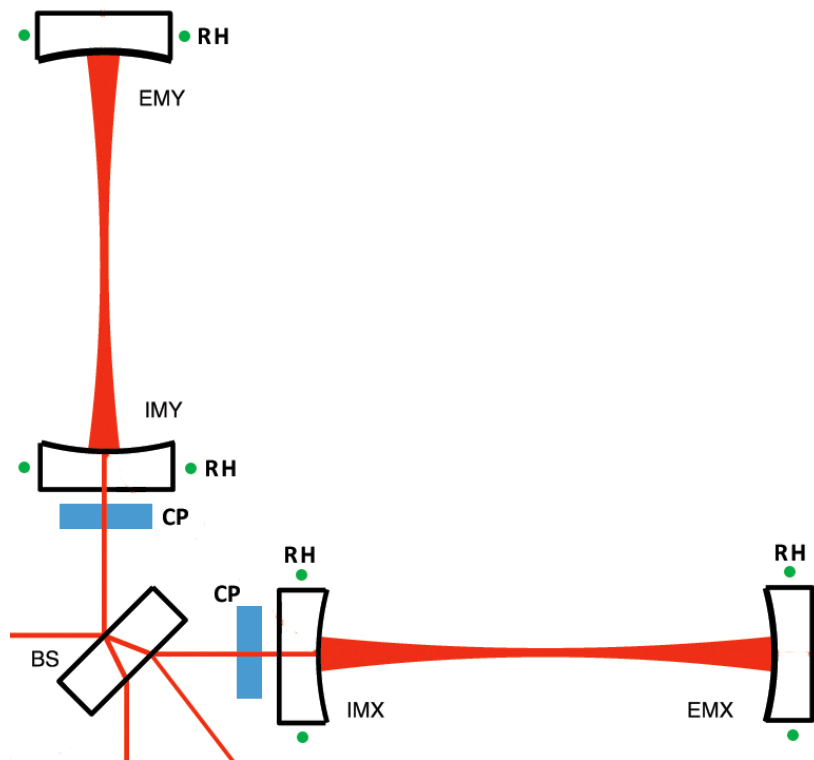
Lumped to the last suspension module



NUOVA COMPENSAZIONE TERMICA

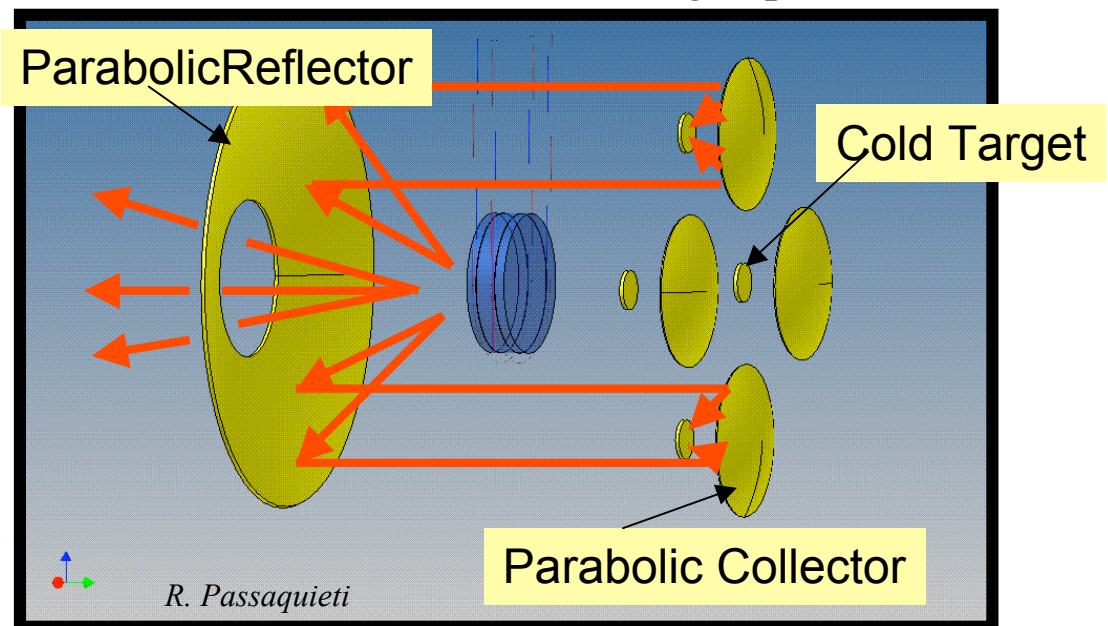
Soluzione di riferimento:

- 1) Anello riscaldante attorno alle masse di test.
- 2) Ulteriore sistema di compensazione delle deformazioni termiche sullo specchio di ricircolo di potenza.
- 3) Elemento ottico extra (*compensation plate*) di fronte alle masse di test d'ingresso e poste lungo il cammino ottico principale.



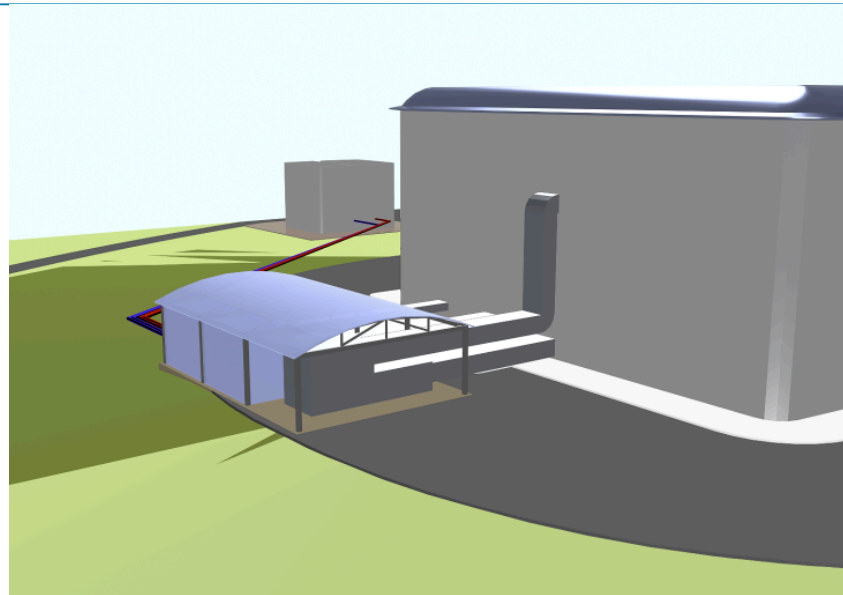
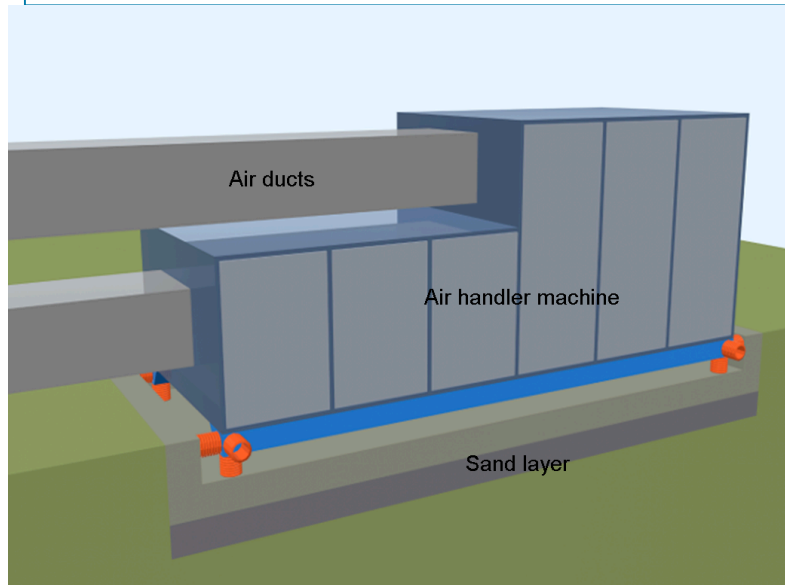
R&D proposto:

Raffreddamento radiativo degli specchi



INFRASTRUTTURA

- L'aumento di sensibilità di Ad VIRGO (10 x VIRGO) implica maggiore attenzione alla riduzione del rumore ambientale.
- Grande sforzo per la comprensione dei meccanismi d'accoppiamento e la loro riduzione. Ulteriore sperimentazione prevista con VIRGO+.
- Isolamento delle macchine industriali e loro collocazione lontano dalle masse di test, ovvero in edifici separati, fuori dalle sale sperimentali.



COST & milestones

20 MEuro (Nikhef will contribute by ~10%)

<i>Year</i>	2009	2010	2011	2012	2013
FTE	19	35	25	27	20

Virgo + EGO personnel fulfill this request.

1. July 2009 The Project starts with the mirror bulk order.
2. July 2011 Shutdown of Virgo+ for Advanced Virgo installation.
3. Dec 2013 Completion of assembly and integration phases.
4. July 2014 First one-hour-long operation
(i.e. needed degrees of freedom controlled).

Conclusioni

Gli attuali rivelatori hanno una tenue ma significativa possibilità di rivelare eventi astrofisici.



I rivelatori “Enhanced” vanno considerati come fasi intermedie verso “Advanced”.

Lo sviluppo di Virgo+ e LIGOe deve essere intervallato da periodi di funzionamento in coincidenza:

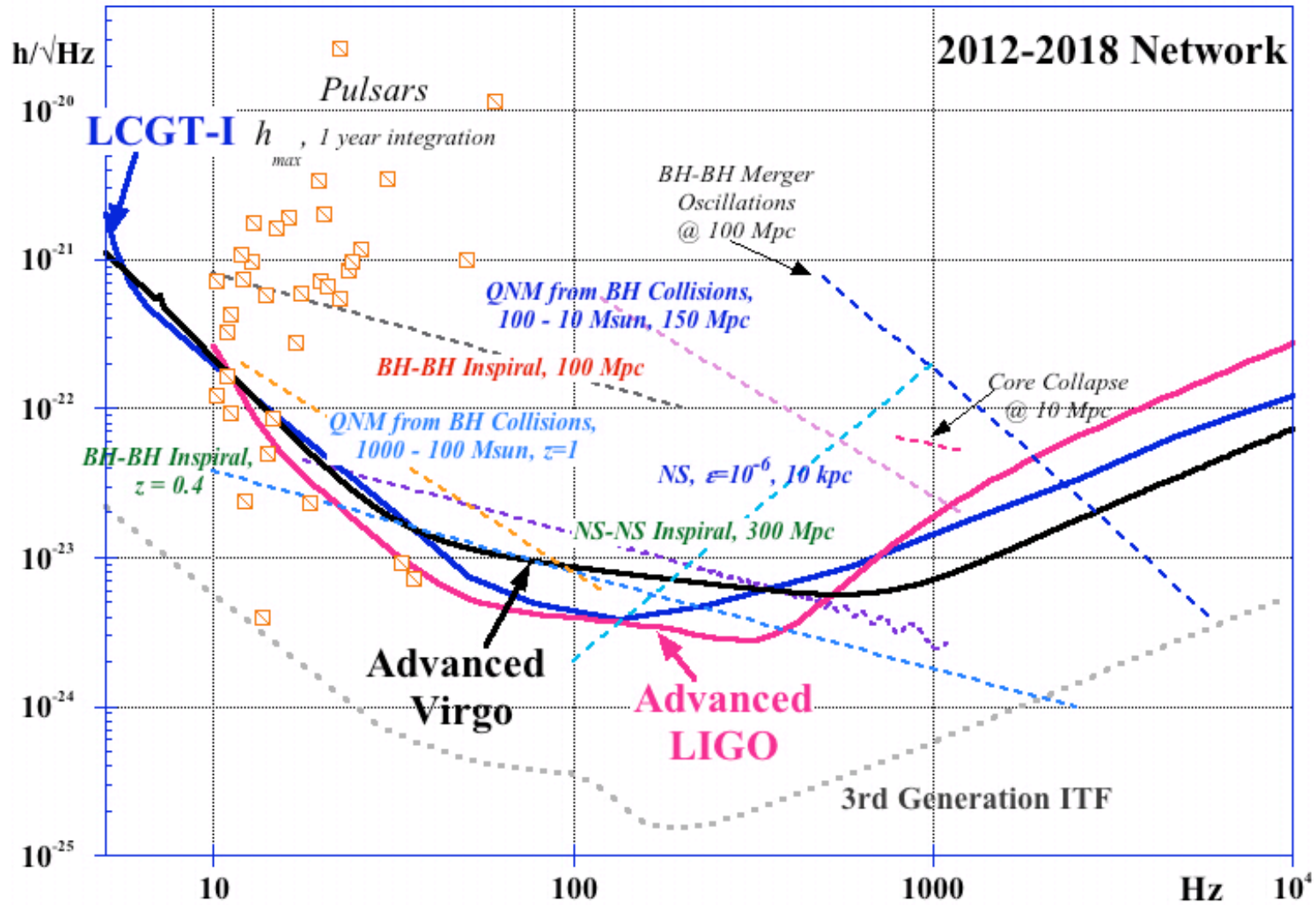
(VSR1 18 Maggio 2007+4.5 mesi,
VSR2 26 Giugno 2009+6 mesi).

I rivelatori Advanced sono concepiti per esplorare un volume che ha un volume **1000** maggiore di quello accessibile tramite gli attuali rivelatori e permetteranno di fare osservazioni astrofisiche:

BNS: 2-30 events/y, 150 Mpc; BBH: 20 events/y, 700 Mpc.

La rivelazione coerente Virgo-LIGO fornisce all’osservatorio composto dai 2 interferometri LIGO un aumento della profondità del 40% e permette la ricostruzione della polarizzazione dei segnali gravitazionali e la distanza delle sorgenti.

Conclusioni (annexe)



END

la solita domanda, please ...

IL VUOTO

La pressione residua in VIRGO è 10^{-7} mbar (H_2O+H_2+HC) senza bake-out,

La pressione residua in Advanced VIRGO deve essere 10^{-9} mbar (bake-out necessario)

Il rumore dovuto alla pressione residua può limitare la sensibilità di Ad VIRGO

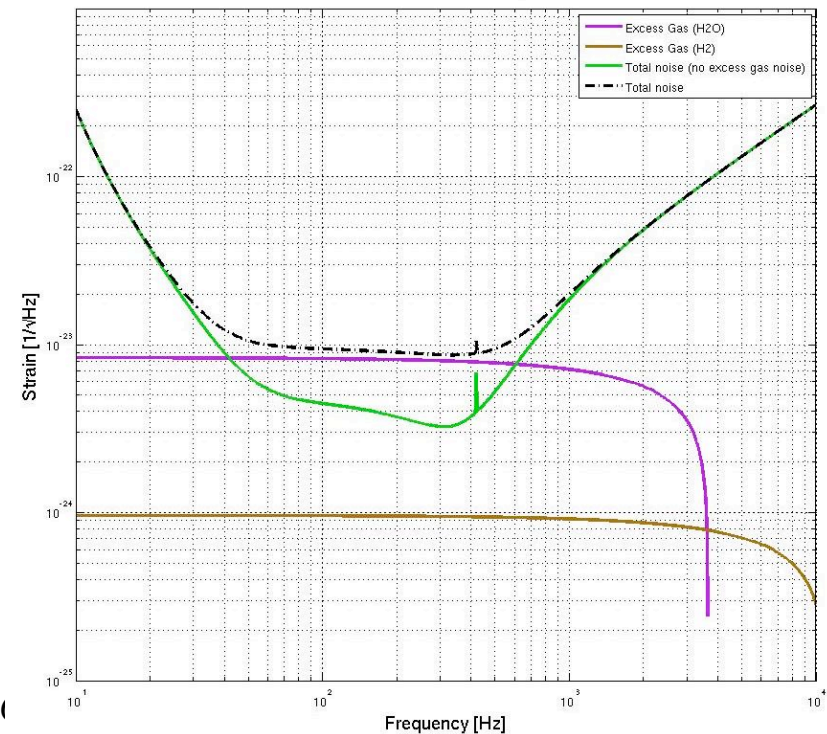
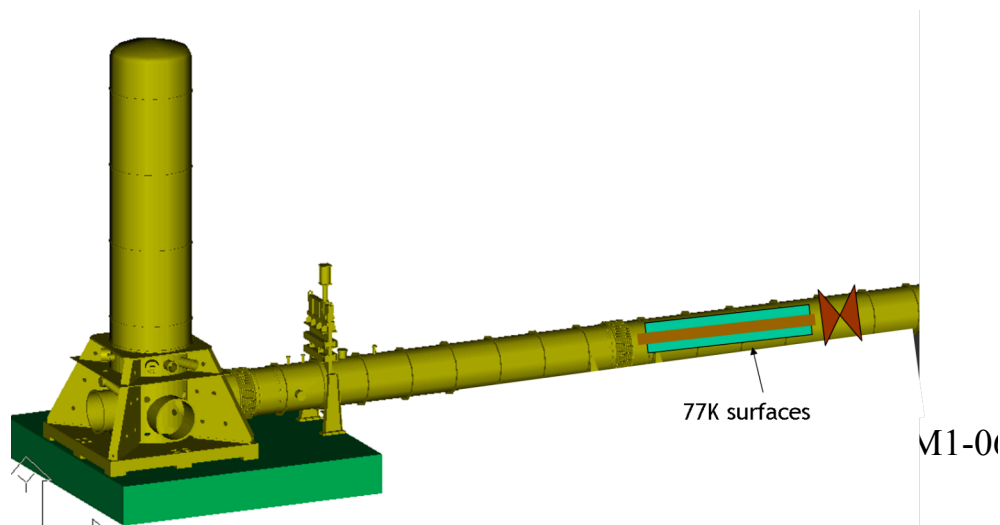
Conseguenza :

Ogni volta che si cicla da pressione atmosferica a vuoto il bake-out è necessario

Il bake-out di 6 km di tubo costa !!

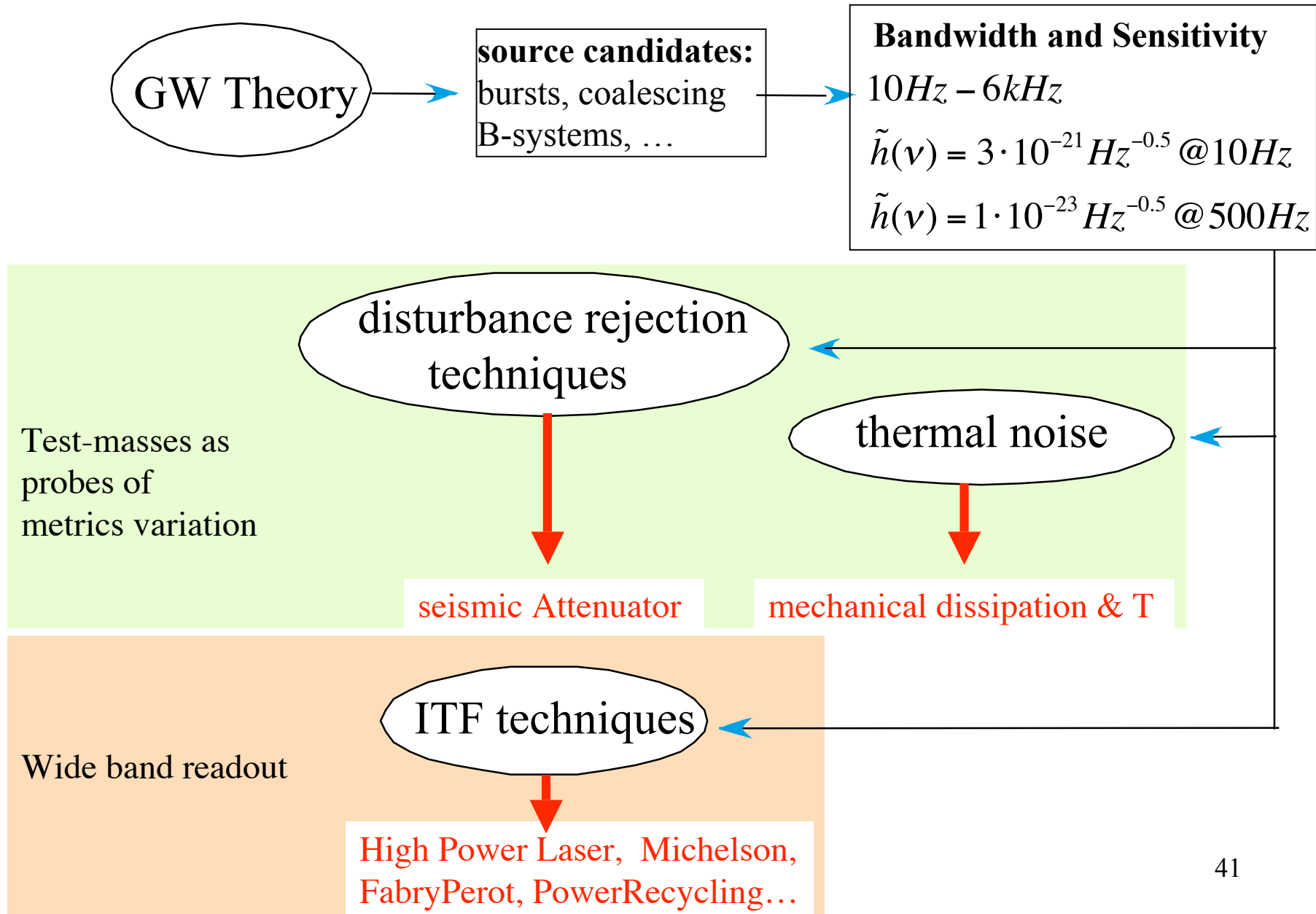
Soluzione

Separare il vuoto delle Torri da quello dei Tubi ,
introducendo delle trappole criogeniche





Design of a wide-band ground-based GW detector



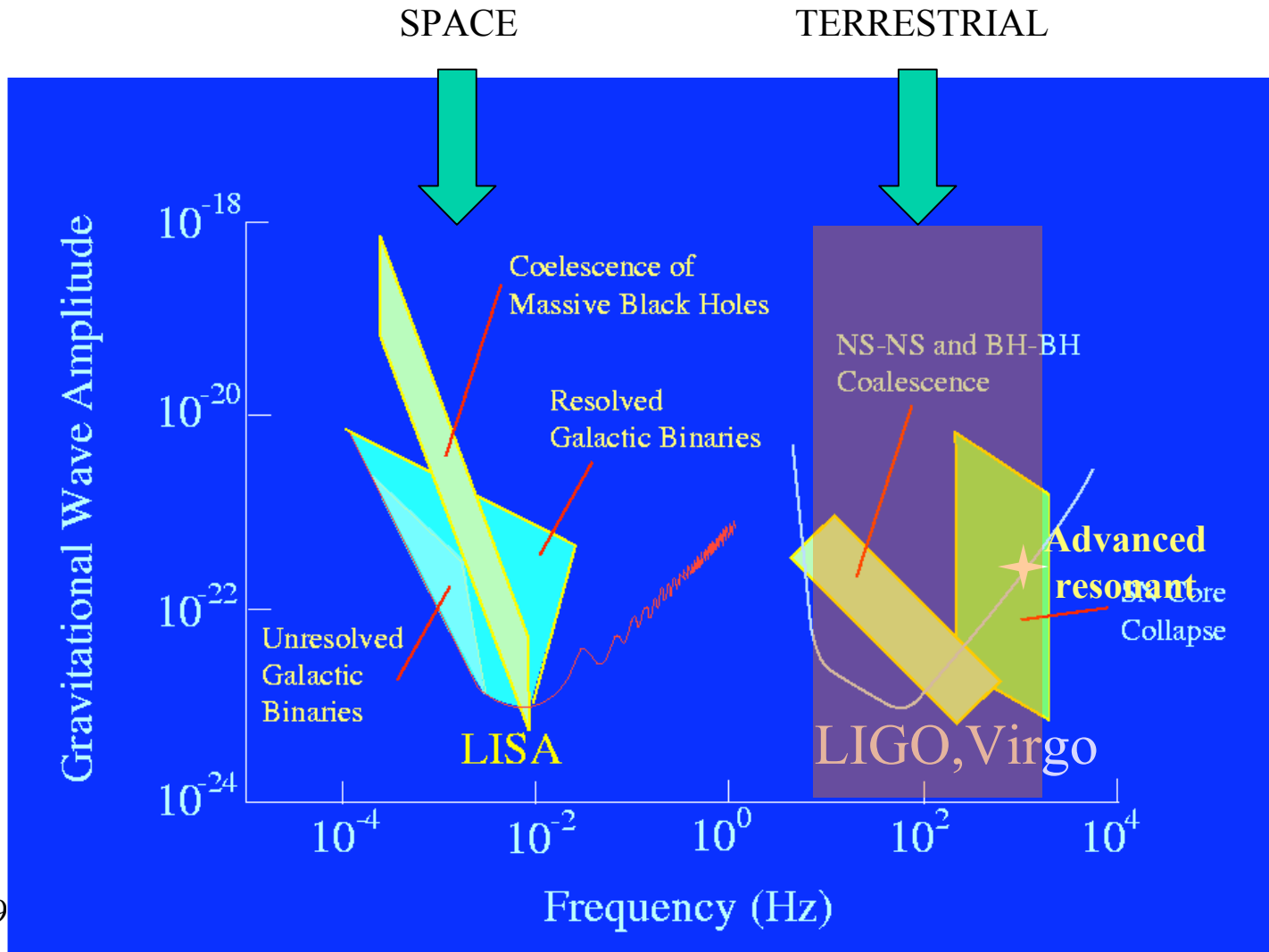


EM vs G waves - Spectral investigation

EM: 20 decades (ULF radio - HE γ)

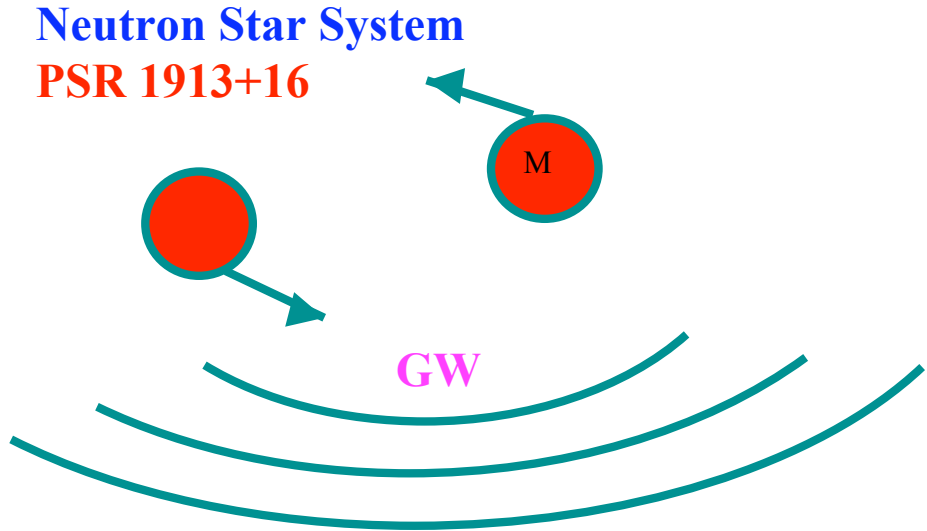
GW: 8 decades (aimed..)

GW: ~ 3 decades (actual)



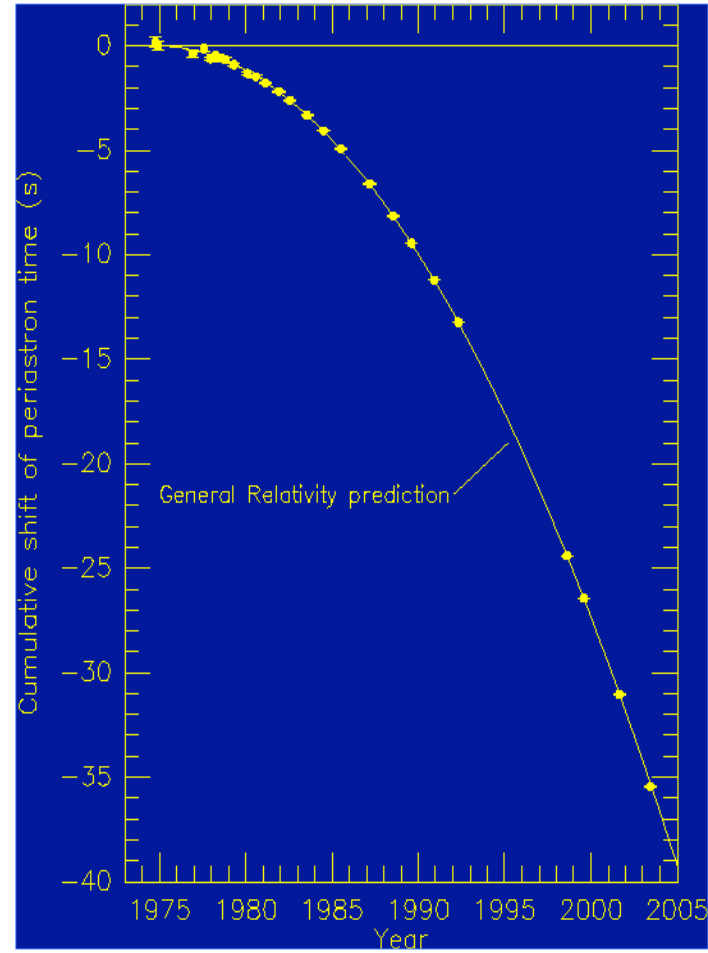


GW existence demonstration



$$\dot{P}_{MEAS} / \dot{P}_{GTR} = 1.0023 \pm .0047$$

Taylor and Hulse
(Nobel 1993)



Orbital period decreasing changes periastron time in agreement with GRT



Suspension quasi-inertial damping: a too-short-blanket recently improved (VSR1-2007)

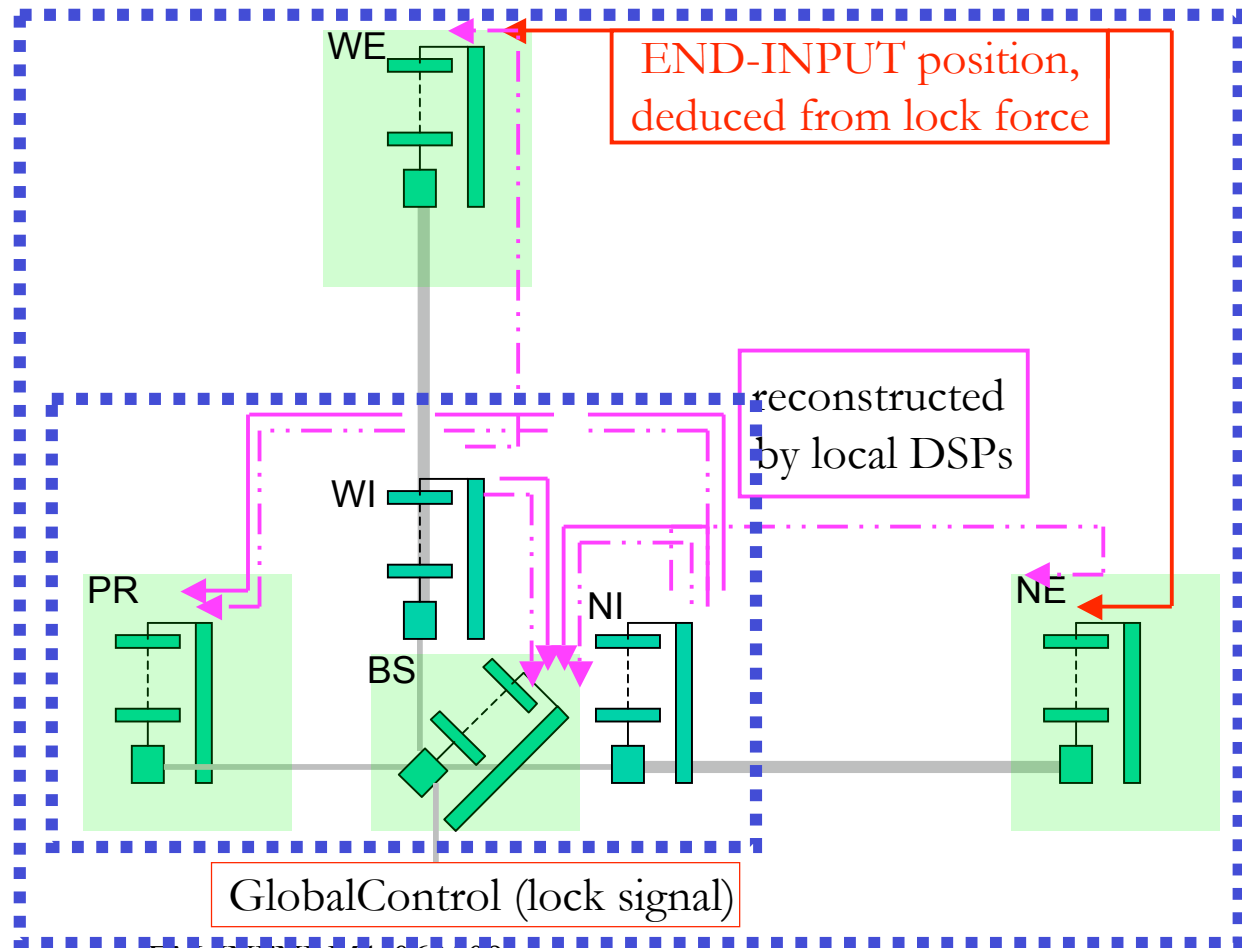
The problem of top-stage control:

avoiding wind-tilt noise (through accelerometers, $f < 70$ mHz) and **μ seism sea disturbance** (through position control, 0.15-0.6 Hz)

μ seism is **incoherent** along the arm baseline
=> μ Seism reduced at **END suspension top-stages** by using position referred to **INPUT mirrors**;

Also the Acceleration !

μ seism is **coherent** in the central area
 μ Seism-Free control signals reconstructed with respect to **INPUT mirrors**

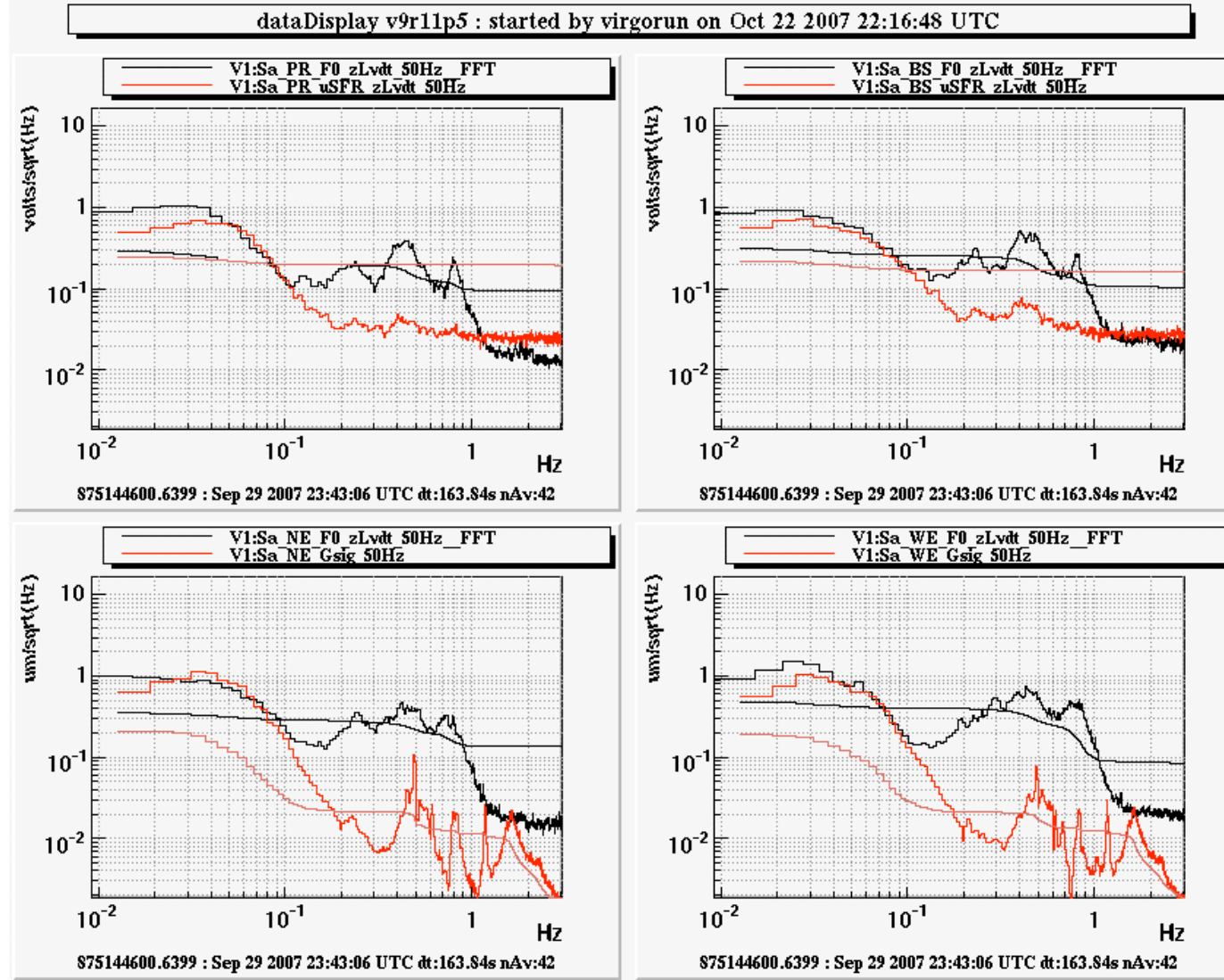


μseism rejection: VSR1start-VSR1stop



quiet

INPUT mirror suspensions used as reference



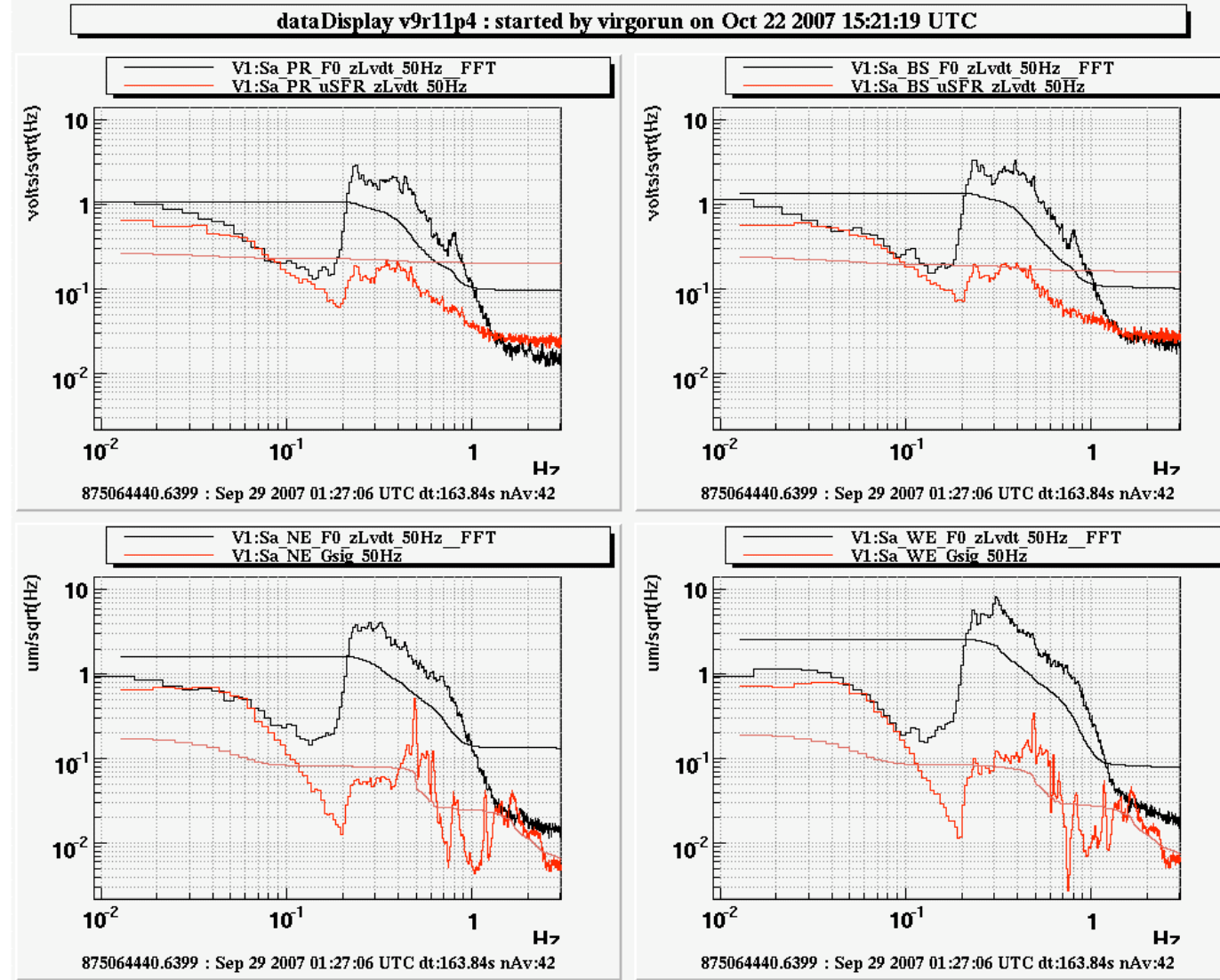
Monitoring of channels used for top-stage control at VSR1 start setup.

Combined channels used at VSR1 stop:
μSFR (μSeism-Free Reconstruction)
and
GIPC (Global-Inverted-Pendulum Control)

μseism: rejection VSR1start-VSR1stop



INPUT mirror suspensions used as reference



Monitoring of channels used for top-stage control at VSR1 start setup.

Combined channels used at VSR1 stop:
μSFR (μSeism-Free Reconstruction)
and
GIPC (Global-Inverted-Pendulum Control)